



YILDIZ TEKNİK ÜNİVERSİTESİ  
FEN BİLİMLERİ ENSTİTÜSÜ

*Verbascum thapsus'ın  
dikkisi üzerine kim. ve yapı araştırmaları*

Doktora Tezi

Sabiha Yalçın

KIM  
4500

T.C.  
YILDIZ ÜNİVERSİTESİ  
FEN BİLİMLERİ ENSTİTÜSÜ

43

**VERBASCUM CHEIRANTHIFOLIUM BOISS.  
(SCROPHULARIACEAE) BITKİSİ ÜZERİNDE  
KİMYASAL ve YAPI ARAŞTIRMALARI**

( Doktora Tezi )

**KİM.YÜK.MÜH. SABİHA YALÇIN ( MANAV )**

**İSTANBUL - 1986**

YILDIZ ÜNİVERSİTESİ

GENEL KİTAPLIĞI

*K-361*  
54

Kot : .....  
Alındığı Yer : ....Fen-Bil.Estat. ....  
Tarih : ....10.03.1989.....  
Fatura : .....  
Fiyatı : ....4500 TL.....  
Ayniyat No : ....1/3.....  
Kayıt No : ....45957.....  
UDC : ....54..... 378.242.....  
Ek : .....



T.C.  
YILDIZ ÜNİVERSİTESİ  
FEN BİLİMLERİ ENSTİTÜSÜ

YILDIZ ÜNİVERSİTESİ

D.B. No 44114



İÇİNDEKİLER

VERBASCUM CHEIRANTHIFOLIUM BOISS.  
(SCROPHULARIACEAE) BITKİSİ ÜZERİNDE  
KİMYASAL VE YAPI ARAŞTIRMALARI

54

(DOKTORA TEZİ)



KİM.YÜK.MÜH. SABİHA YALÇIN (MANAV)

İSTANBUL-1986



## İÇİNDEKİLER

Sayfa

TEŞEKKÜR

ÖZET

SUMMARY

1. GİRİŞ VE ÇALIŞMANIN AMACI .....	1
2. TEORİK BÖLÜM .....	2
2.1. Bitkinin Tanımı ve Yayılışı .....	2
2.1.1. Scrophulariaceae Familyası .....	2
2.2.2. Verbascum Cinsi .....	3
2.1.3. Verba scum Cheiranthifolium Boiss.	3
2.2. Verbascum Türlerinin Farmakolojik Et- kileri ve Halk Arasında Kullanımı .....	5
2.3. Genel Bilgiler .....	8
2.3.1. Steroidler .....	8
2.3.1.1. Dağılımları .....	8
2.3.1.2. Elde Edilmeleri .....	9
2.3.1.3. Renk Reaksiyonları .....	10

Sayfa

2.3.1.4. Spektral Yöntemler .....	10
2.3.1.5. Kimyasal Reaksiyonlar ....	14
2.3.2. Flavonoidal Bileşikler .....	14
2.3.2.1. Dağılımları .....	14
2.3.2.2. Oluşumları .....	15
2.3.2.3. Elde Edilmeleri .....	17
2.3.2.3.1. Bitkiden Tüketme .....	17
2.3.2.3.2. Kromatografik Yöntem-	
ler .....	18
2.3.2.4. Tanınmaları .....	21
2.3.2.4.1. Renk Reaksiyonları ....	21
2.3.2.4.2. Spektral Yöntemler ....	25
2.4. Verbascum Türleriyle Bugüne Kadar Ya-	
pılmış Çalışmalar .....	41
2.4.1. Steroid ve Terpenoid Maddeler ....	42
2.4.2. Flavonoid Maddeler .....	42
3. DENEYSEL BÖLÜM .....	44
3.1. Genel Teknikler .....	44
3.1.1. Kromatografik Yöntemler .....	44
3.1.1.1. Sütun Kromatografisi ....	44
3.1.1.2. İnce Tabaka Kromatogra-	
fi si .....	46
3.1.1.3. Kağıt Kromatografisi ....	47

Sayfa

3.1.2. Spektrofotometrik Yöntemler .....	47
3.1.2.1. UV Spektrofotomet-	
resi ..... 47	
3.1.2.2. IR Spektrofotometresi ..	48
3.1.2.3. $^1\text{H}$ NMR Spektrofotometresi ....	48
3.1.2.4. Kütle Spektrofotometresi ...	48
3.1.3. Erime Derecesi .....	49
3.1.4. Belirteçler .....	49
3.1.4.1. Steroid Belirteçleri ...	49
3.1.4.2. Flavonoid Belirteçleri .	50
3.1.4.3. Şeker Belirteci .....	50
3.1.4.4. UV Spektrumu Kayma Be-	
lirteçleri .....	51
3.2. Uygulanan Kimyasal Reaksiyonlar .....	53
3.2.1. Asetilleme .....	53
3.2.2. Asit Hidroliz .....	53
3.3. Yapılan İşlemler .....	54
3.3.1. Bitkinin Tüketilmesi .....	54
3.3.2. Alkol Ekstresinin İşlenmesi .....	54
3.3.3. Ekstrelerin Fraksiyonlandırıl-	
ması ve Bileşiklerin izolas-	
yonu .....	56
3.3.3.1. Kloroform Ekstresi .....	56
3.3.3.2. Etil Asetat Ekstresi ....	56

Sayfa

3.4. Bu Çalışmada Elde Edilen Bileşikler ....	59
3.4.1. V Bileşigi=β-Sitosterol .....	59
3.4.2. C <sub>1</sub> Bileşigi=Viteksin .....	66
3.4.3. C <sub>2</sub> Bileşigi=Apigenin .....	70
3.4.4. C <sub>3</sub> Bileşigi=Swertisin .....	74
3.4.5. C <sub>4</sub> Bileşigi=Luteolin .....	79
3.5. Elde Edilen Bileşiklerin Spektrum Değerleri .....	83
SONUÇ VE TARTIŞMA .....	96
KAYNAKLAR .....	99
ŞEKİL LİSTESİ .....	106
TABLO LİSTESİ .....	107
ÖZGEÇMİŞ .....	

Bana bu çalışmaya yapma olanağını sağlayan  
ve yürütülmesinde destegini esirgemeyen sayın  
hocam Y.U. Fen Ed. Fak. Kimya Bölüm Başkanı  
Doç. Dr. Esin Çurgunlu'ya, çalışmalarım sira-  
sında, denemelerin yapılmasına olanak sağlayan,  
derin bilgi ve deneyimlerinden daima yararlan-  
diğim T.U. Eczacılık Fak. Öğretim Üyesi sayın  
Prof. Dr. Ayhan Ulubelen'e sonsuz saygı ve şük-  
ranlarımı sunarım.

## ÖZET

Bu çalışmada *Verbascum cheiranthifoium* B. bitkisinin toprak üstü kısımları steroid ve flavonoid bileşikleri yönünden incelendi.

*V. cheiranthifolium* bitkisi Haziran 1984'de Bozöyük (Bilecik) çevresinden toplandı. Taze halde iken, bitkinin toprak üstü kısımları etil alkol ile 1 hafta maserasyon'a bırakılarak tüketildi. Ekstre düşük basınçta koyu şurup kıvamına gelene kadar yoğunlaştırıldı. Elde edilen alkol ekstresine kloroform-su arasında partisyon uygulandı. Sulu kısımdan ayrılan kloroform kısmı yoğunlaştırıldı. Kalan sulu kısma etil-asetat-su arasında partisyon uygulandı. Ayrılan etil-asetat kısmı da yoğunlaştırıldı.

*V. cheiranthifoium* bitkisinin yapılan ince tabaka kromatografilerinde steroid bileşikler bakımından kloroform ekstresi zengin görüldüğü için bu bileşikleri elde etmek amacıyla bu ekstre ile çalışıldı.

Kloroform ekstresi yoğunlaştırılıp silikajel sütuna yerleştirildikten sonra elüsyona benzen ile başlanıp gittikçe artan oranlarda kloroform ve son olarak alkole geçildi.

V. cheiranthifolium bitkisinden elde edilen V ( $\beta$ -sitosterol) alkol ekstresinin kloroform kismin- dan izole edilmiştir.

$\beta$ -Sitosterol preparatif ince tabaka kromato- grafisi ile saflaştırılmıştır.

Elde edilen steroid bileşigin yapısı spektral yöntemler (IR, NMR ve kütle spektrumu), asetilleme reaksiyonu ve standart örnekle ince tabaka kromatografi ve erime derecesi kıyaslanarak aydınlatılmıştır.

Bu bitkiden izole edilen  $\beta$ -Sitosterol daha önce bazı Verbascum türlerinden de elde edilmiştir.

V. cheiranthifolium bitkisinin alkol ekstresi etil asetata çekilerek elde edilen ekstreden flavonoid bileşikler izole edilmişlerdir. Poliklar sütunda

elüsyona Egger |CHCl<sub>3</sub>-EtOH (2:1)| çözücü sistemi ile başlanıp alkole ve son olarak suya geçildi. Elde edilen bileşikler, C<sub>1</sub> (viteksin), C<sub>2</sub> (apigenin), C<sub>3</sub> (swertisin), C<sub>4</sub> (luteolin), olmak üzere toplam dört flavonoiddir.

Bu bitkiden izole edilen flavonoid bileşikler daha önce bazı *Verbascum* türlerinden elde edilmişlerdir.

Flavonoid bileşikler küçük sefadek s LH-20 sütün-  
larından geçirilerek veya preparatif ince tabaka kro-  
matografları yapılarak temizlenip saflaştırılmışlar-  
dır.

Saflaştırılan flavonoid bileşiklerin yapılarını  
aydınlatmak için UV, NMR spektrumları ve ince tabaka  
kromatografları standart örneklerle kıyaslanmıştır.

Sonuçta *V. cheiranthifolium* B. bitkisinden bir  
steroid ve dört flavonoid yapısında bileşik elde edil-  
miştir.

silicagel. The elution started with benzene, increasing amounts of chloroform were added into it and the elution completed with alcohol.

## SUMMARY

The chloroform part of alcohol extract yielded

In this study the above ground parts of *Verbascum cheiranthifolium* B. was investigated for its steroid and flavonoidal compounds. Chromatography.

*V. cheiranthifolium* was collected from Bozöyük (Bilecik) district in June 1984. The fresh plant, its above ground parts was macerated with ethanol for a week.

comparison with authentic sample and by melting point.

The alcohol extract was applied the partition between chloroform and water. The chloroform part was concentrated and the water part was applied the partition between ethylacetate and water. The etil acetat part was concertrated.

Since the chloroform extract of *V. cheiranthifolium* showed most of the steroids in its thin layer chromatography, this extract was used tho obtain steroids. A silicagel column was used to separate the chloroform

extract. The eluation started with benzene, increasing amounts of chloroform were added into it and the eluation completed with alcohol.

The flavonoids from *Verbascum cheiranthifolium* were previously obtained from the whole plant.

The chloroform part of alcohol extract yielded (V)  $\beta$ -Sitosterol.

The flavonoids were cleaned from small Sephadex G-25.

$\beta$ -Sitosterol was cleaned by preparative thin layer chromatography.

The identification and structure determination of the steroid was done by spektral methods (IR, NMR and Mass), acetylation reaction and thin layer chromatographic comparison with authentic sample and by melting point.

The steroid from *V. cheiranthifolium* was previously obtained from other *Verbascum* species.

The alcohol concentrate of *V. cheiranthofolium* was reextracted with ethylacetate to obtain the flavonoidal compounds. The modified Egger solvent ( $\text{CHCl}_3$ -EtOH 2:1) was used to elute the column. (Polyclar), by reducing the amount of chloroform, the polarity was increased, elution was continued with water. Four flavonoids

$C_1$  (Vitexin),  $C_2$  (Apigenin),  $C_3$  (Swertisin),  $C_4$  (Luteolin) were isolated from this column.

The flavonoids from *Verbascum cheiranthifolium* were previously obtained from other *Verbascum* species.

The flavonoids were cleaned from small Sephadex LH-20 column or by preparative thin layer chromatography.

The purified flavonoids were identified by recording their UV, NMR spectra and thin layer chromatographic comparison with authentic sample.

As a result of this study one steroid and four flavonoids were isolated from *V. cheiranthifolium* Boiss.

## 1. GİRİŞ VE ÇALIŞMANIN AMACI

Ülkemizde 200 kadar *Verbascum* türü yetişmektedir (1, S.292).

*Verbascum* türleri, Ülkemizde halk arasında balgam söktürücü göğüs yumuşatıcı olarak infüzyon (%2-5) halinde, kronik bronşit ve anfizemde kullanılmaktadır (2, S.390). Dünyada *Verbascum* türlerinin farmakolojik aktiviteleri üzerinde pekçok çalışmalar yapılmış ve yapılmaktadır.

Türkiye'de yaygın olarak bulunan ve şimdiye kadar sadece Saponinleri saptanan (3) *Verbascum Cheiranthifolium* Boiss bitkisi üzerinde kimyasal ve yapı araştırmaları yapılarak, bitkinin steroid ve flavonoid bileşiklerinin incelenmesi amaçlanmış ve çalışma bu yönde yapılmıştır.

Bu familyada yerlesen 210 cins ve 3000 tane bitki tespit edildi. Türkçede 23 cinsi ve 100'a yakın türün varlığı (1, S.290).

## 2. TEORİK BÖLÜM

*Scrophulariaceae* familyasının bitkileri, boyutları-

2.1. BITKİNİN TANIMI VE YAYILIŞI

2.1.1. SCROPHULARIACEAE FAMILİYASI

Türkçe bilimsel isimler (5)

Çoğunlukla otsu, bir kısmı küçük çalılar veya parazit bitkilerdir. Yapraklar alماşık, karşılıklı veya helezon şeklinde, tam veya parçalıdır. Çiçekler iki cinsli, salkım, başakçık veya talkım panikülleridir. Kaliks 4-5 parçalı, iki dudaklı veya iki lopludur. Korolla gamopetal, çoğunlukla zigomorfik ve iki dudaklı, bazen boru şeklinde çıkışlı veya keselidir. Korolla daima tomurcuktan birbiri üstüne konmuş loplardır. Stamenler korollaya yapışık 4 ve didinam, bazen 2 veya 5 tir. Ovaryum, dalın ucunda bulunan çiçeğin dışılık organının sapi ile birlikte üsttedir, çoğunlukla horizontal septumlu iki hücrelidir ve çok ovüllüdür. Meyva, çoğunlukla kapsula, bazen tohum şeklindedir (4, S.458).

veye deyesicili, yanmışak veya daha çok birer nesidir.  
Bu familyada yaklaşık 210 cins ve 3000 tür bulunmaktadır. Türkiye'de 25 cinsi ve 500'e yakın türü vardır (1, S.290).

Scrophulariaceae familyasının bitkileri bazı alkaloidler, glikozitler, steroidler, flavonoidler, iridoidler, terpenoidler ve diğer biyolojik aktivite gösteren bileşikleri taşırlar (5).

#### 2.1.2. VERBASCUM CİNSİ

Tek, iki veya çok yıllık otsu bitkilerdir. Çoğunlukla sık tüylüdür ve tüyler dallanmıştır. Yapraklar, bitkinin tabanında rozet şeklinde toplanmış ve gövde üzerinde almasıktır. Çiçekler dik, basit veya dallanmış salkımlar oluştururlar. Korolla sarı renkli, tekerlek şeklinde yayık, stamen 5, iki farklı tipte, 3'ü eş, diğer ikisi eştir. Filamentler ovat şekilli, iki gözlü, septisit bir kapsuladır (1, S.292).

#### 2.1.3. VERBASCUM CHEIRANTHIFOLIUM BOISS

Bitki iki yıllık, 30-120 cm. boyunda, ince damarlı ve kısa tüylü, çoğunlukla sarımsı, bazen grimsi

veya beyazımsı, yumuşak veya daha çok biraz sertlikte yıldız şeklinde tüylüdür. Gövde ince, uzunlamasına çizgili, genellikle çok dallanmıştır. Ana yapraklar mızräksi şekilden oblonga kadar değişen şekillerde (boyu 7-30 cm, eni 1.5-8 cm), sivri, tek parça veya nadiren tırtıllıdır. Petiol 2-6 cm 'dir. Çiçekler oldukça basit, genellikle çok ince, dik ve yayılmış dallar şeklärindedir. Çiçekler oblongtan ovata kadar değişen 2-7 tane gevşek salkım çiçekli panikuldur. Kaliks 1.5-4.5 mm, lineer loplardan, üç köşeli mızräksi şekle kadar değişen keskin veya sivri nadiren genişstir. Korolla sarı 20-25 mm çapında, stamenler 5, anterler reniformdur (4, S.587).

*Verbascum Cheiranthifolium* bitkisinin çiçeklenme mevsimi Mayıs-Ağustos aylarıdır. Ormanlarda, bodur ağaç yetişen yerlerde, bozkırılarda, çayırlarda, kireç taşı kayalıklarında 680-1930 m yükseklikte yetişirler (4, S.588).

Ülkemizde Kuzey, Güney, Doğu ve Orta Anadolu'da oldukça yaygın olarak, Ege bölgesinin bazı illerinde de nadiren bulunmaktadır.

yenmişlerdir. ve yaygın olan balıkları elde etmek için, bu genelde nadir yemeklerden taranır ve bu, dimetin adını alır. İsteğe bağlı olarak çok sevilendir (s. 225).

## 2.2. VERBASCUM TÜRLERİNİN FARMAKOLOJİK ETKİLERİ VE HALK ARASINDA KULLANIMI

Halk arasında sigirkuyruğu olarak bilinen Verbascum türleri uzun yıllar çeşitli tıbbi amaçlarla kullanılmışlardır.

Bazı Verbascum türlerinin çiçekleri, stamenleri ile birlikte toplanıp gölgede kurutulmuş korollası kullanılır. Bu drog özellikle *V. phlomoides* L., *V. densiflorum* Bertol ve *V. thapsus* L. türleri ile bunların grubunda bulunan diğer türlerden elde edilir. Bu türler 50-200 cm. yükseklikte, parlak sarı çiçekli, büyük ve tüylü yapraklı ve iki yıllık bitkilerdir. Bileşimlerinde müsilaj, uçucu yağ ve flavon glikozitleri vardır.

Bazı verbascum türlerinin, özellikle Türkiye'de yaygın olan *V. sinuatum* L. türünün tohumları taşındıkları bir saponinden dolayı, balıklar için zehirlidir. Bu türlerin tohumları biraz et ile ezilerek balıklara

yem olarak atılır ve uyuşmuş olan balıklar el ile toplanır. Bu yöntem balık yavrularının toplu halde ölmesine sebep olduğu için çok zararlıdır (6, S.375).

Verbascum türlerinin kurutulmuş yaprakları da bazı tıbbi amaçlar için kullanılır. Drog grimsi yeşil renkli, sık tüylü, kokusuz ve lezzetsiz parçalar halinde dir. Bileşimlerinde saponinler, müsilaj, rezin ve acı maddeler vardır.

İnfüzyon halinde terletici, balgam söktürücü, ya- tıştırıcı, idrar arttıracı ve kabız olarak kullanılır (6, S.376).

Bazı Verbescum türlerinin farklı gelişme durumları esnasında, toprak üstü kısımlarında, kök, yaprak çiçek ve tohumlarında, azot, protein, lipid, şeker, nişasta, müsilaj, peptik maddeler, hemi selüloz, selüloz, fosfor, kalsiyum, magnezyum, potasyum ve biyolojik aktif maddeleri (alkaloid, saponin, flavonoid, lakton, ku- marin ve askorbik asid) içerdikleri saptanmıştır (7).

Verbascum türlerinin bazılарının, fibroblast kül- türünde, bazı türlerinde civciv ceninin enflüanza virüsünün

kültüründe antiviral etkiye sahip olduğu saptanmıştır. En kuvvetli antiviral etkiye sahip Verbascum türünün *V. thapsus* olduğu bulunmuştur (8). *V. thapsus* çiçeklerinin hem hücre kültüründe, hem de civciv cenninde interferon'a benzer aktivitede bir faktöre sebep olduğu saptanmıştır (9).

*V. formanekii*'nin hipotensif, *V. longifolium*'un kardiak, *V. anisophyllum*'un kardiak ve miyotonik etkileri bulunmuştur. *V. banaticum*, *V. lychnis* ve *V. abielinum* anti-muskarminerjik aktivite gösterirler (10).

Stressidin, vüvanşit hormonları, adrenalin, epinefrin, kalp glikozidleri, rıde ve ekstra spikerlerde polietestrol, karbonik asit ve vitaminitrin yapısını olgularak kardiyal fonksiyonlar üzerinde etkili olan bilimsel dataları.

Düzenli wayra kullanımı stressidin, adrenalin ve epinefrin gibi dökünteleri kolaylaştırır.

Stressidin metabolizmında enzimler ve enzim抑制剂lerin etkisi önemlidir. Adrenalinin etkisi epinefrin-



Nüfus ve İstatistik Dairesi İmzalıdır  
Tarih: 11.11.2011.

## 2.3. GENEL BİLGİLER

### 2.3.1. STEROİDLER

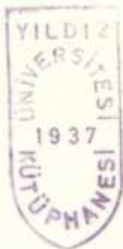
#### 2.3.1.1. DAĞILIMLARI

Steroidler, bitkiler ve hayvanlar aleminde çok yaygın olarak bulunan çiklopentanohidroferantren iskeletine sahip bileşiklerdir.

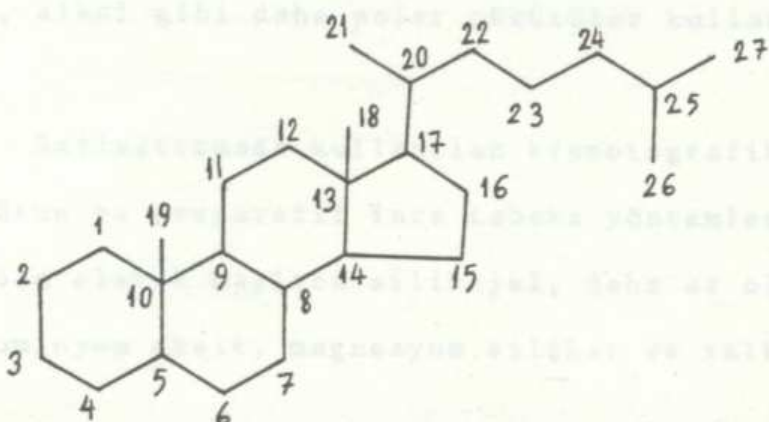
Steroidler, cinsiyet hormonları, adrenal korteks hormonları, kalp glikozitleri, mide ve safra asitleri ile kolesterolun, hatta bazı vitaminlerin yapısını oluşturarak hayatı fonksiyonlar üzerinde etkili olan bileşiklerdir.

Doğal veya sentetik steroidler, kemoterapide geniş ölçüde kullanılırlar.

Steroid molekülleri iskelet ve yan gruplarından oluşur. Normal steroid iskeleti aşağıdaki gibi olup,



halkalar A,B,C ve D olarak isimlendirilir ve numaralandırılır (11, S.675).



#### 2.3.1.1. BİTKİ REAKSİYONLARI

Bitkisel steroller  $C_3$ 'de bir hidroksil grubuna,  $C_5$ 'de genellikle bir çifte bağa ve  $C_{17}$ 'de yan zincire sahiptirler (12).

#### 2.3.1.2. ELDE EDİLMELERİ

Genel çalışmalarda bitkinin kurutulan ve toz edilen kısımları değişen polaritedeki çözüçülerle tüketilecek elde edilen ekstreler kromatografik yöntemlerle

saflaştırılırlar. Çoğu sterol yapılar için tüketme polar olmayan çözücülerle yapılır. Ancak steroidin çok sayıda hidroksil, karboksil gibi gruplar taşıması veya glikozit yapısında olması halinde etil asetat, alkol gibi daha polar çözücüler kullanılır.

Saflaştırmada kullanılan kromatografik yöntemler sütun ve preparatif ince tabaka yöntemleridir. Adsorban olarak başlıca silikajel, daha az olmak üzere aluminyum oksit, magnezyum silikat ve talk kullanılır.

#### 2.3.1.3. RENK REAKSİYONLARI

Steroidlerin tanınma reaksiyonlarında en önemli si ve en çok uygulanarı Liebermann-Burchard reaksiyonudur (13, S.269). Ancak reaksiyon oldukça yavaşır ve rengin mavi-yeşil-mor şeklinde değişmesini dikkatle izlemek gereklidir.

#### 2.3.1.4. SPEKTRAL YÖNTEMLER

Steroidlerin yapılarının saptanmasında spektroskopik yöntemlerden yararlanılır.

### UV SPEKTRUMU

UV spektrumu steroidler için fazla bilgi vermez, 3-OH'dan ötürü 200 nm'nin altında bir maksimum verirler, çifte bağlar genellikle izole durumda olduğundan 200-210 nm civarında kuvvetli bir uç obsorbsiyon verirler (14).

### IR SPEKTRUMU

Bir bileşigin steroid yapıda olduğunu belirtir ve aynı yapıdaki fonksiyonel gruplar hakkında ilk bilgiyi vermesi bakımından önemlidir, ancak bileşigin yapısı hakkında başka bir fikir vermez. Parmak izi bölgesi ise steroidler için karakteristik ve hayli karışık- tır.  $3350-3550\text{ cm}^{-1}$  arasında serbest ya da hidrojen bağı yapan hidroksil grupları,  $1640-1650\text{ cm}^{-1}$ 'de çifte bağlar izlenebilir.

### $^1\text{H}$ NMR SPEKTRUMU

NMR spektrumu steroidlerin yapı tayininde çok önemli bir rol oynar. NMR spektrumunda metil bantları

0.5-1.5 ppm arasında çıkar. Steroidlerde metilen pikleri çok karmaşık ve yaygındırlar, bu nedenle metilen bantı yerine metilen zarfı söz konusudur, diğer benzer yapıdaki bileşiklerden bu metilen zarfı ile ayırdedilirler. Hidroksile ve ester gruplarına komşu protonları 3.5-4.5 ppm'de, vinilik protonları 5.0-6.0 ppm arasında gözlenir.

### <sup>13</sup> C NMR SPEKTRUMU

Son yıllarda <sup>13</sup> C NMR spektroskopisi yöntemi doğal ürünlerin yapı tayininde yaygın olarak kullanılmaktadır. Bu yöntem ile moleküldeki karbon atomlarının sayısı ve durumu belirlenir. <sup>13</sup> C NMR sinyalleri 0-200 ppm gibi geniş bir alanda gözlendiklerinden <sup>1</sup> H NMR sinyallerine göre çok daha iyi ayırım verirler (23, S.23). <sup>13</sup> C NMR spektrumunda yorumlanmasını güçlestirebileceği için <sup>1</sup> H çekirdeğinin <sup>13</sup> C çekirdeği üzerindeki etkisinin kaldırılmasını sağlayan (proton-noise, decoupling) yöntemler ile spektrum basitleştirilir, böylece molekülde sadece karbon atomlarına ait pikler (singletler şeklinde) gözlenir.

Yorumlamada kolaylık sağlayan ikinci bir yöntemde titreşim alanı dışı decoupling (Off-resonance decoupling) yöntemidir. Bu yöntemde karbon-proton kinda alanlı etkileşmesi saptanmıştır. Bu yöntemde alınan bir spektrumda metil gruplarına ait karbonlar kuartet, metilen karbonları triplet, metil karbonları duplet, kuarterner karbonlar ise singlet şeklinde görülür (15, S. 238).

~~Pulsatır ve pulsatır olmayan spektrumlarla karşılaştırıldığında~~ sp<sup>3</sup> hibritlerine sahip C içeren metil grupları 0.00-50 ppm, sp<sup>2</sup> hibritlerine sahip C içeren vinilik karbonlar 100-160 ppm, sp hibritlerine sahip asetilenik karbonlar 50-80 ppm'de bulunurlar. Heteroatom-lara komşu C'lar 60-80 ppm arasında, karbonil grubu C'ları 160-210 ppm arasında gözlenir.

#### KÜTLE SPEKTRUMU

Elementel analizle bulunmuş olan kapalı formül, kütle spektrumu yardımıyla doğrulanarak molekül ağırlığı bulunmuş olur. İskelet üzerindeki çifte bağın yeri değişik parçalanmalara neden olur, böylece çifte bağın yerini saptamak mümkün olabilir (16). Ayrıca bileşikte

asit, alkol, hidroksil gibi çeşitli gruptara ve özgün iskelet yapısına göre değişik parçalanmalar olmaktadır, bu parçalanmalara göre bileşigin yapısı hakkında fikir edinilir.

#### 2.3.1.5. KİMYASAL REAKSİYONLAR

Bileşigin spektral analizlerinden elde edilen bulguların doğrulanması amacıyla yapılır. Ayrıca spektral analizler ile tam aydınlığa kavuşmamış noktalar varsa bazı kimyasal reaksiyonlarla yapının kesin tayini mümkün olur. Bu amaçla türev hazırlama, çeşitli yükseltgemeler, indirgeme ve halka parçalanması gibi reaksiyonlar yapılır.

### 2.3.2. FLAVONOİDAL BİLEŞİKLER

#### 2.3.2.1. DAĞILIMLARI

Flavonoidler, fenil kromon grubu taşıyan doğal kaynaklı bileşiklerdir. Flavon iskeleti 15 karbon atomundan meydana gelen benzo  $\gamma$ -piron yapısındadır. Flavonoidler, yosunların büyük bir kısmı ve bakteriler haric hemen her bitki türünde yaygın olarak bulunurlar. Bitkilerde flavonoid bileşiklerin yayılışı,

hidroksisinmanik asit türevleri ve ligninlerin yapılışları ile paraleldir.

Flavonoidler, doğada hidroksil gruplarını serbest olarak ya da metil eteri veya glikozitleri halinde taşıyan ve bitkilerin kök, sap, çiçek, polen, meyve ve tohum gibi hemen her bölümünde bulunabilen maddelerdir.

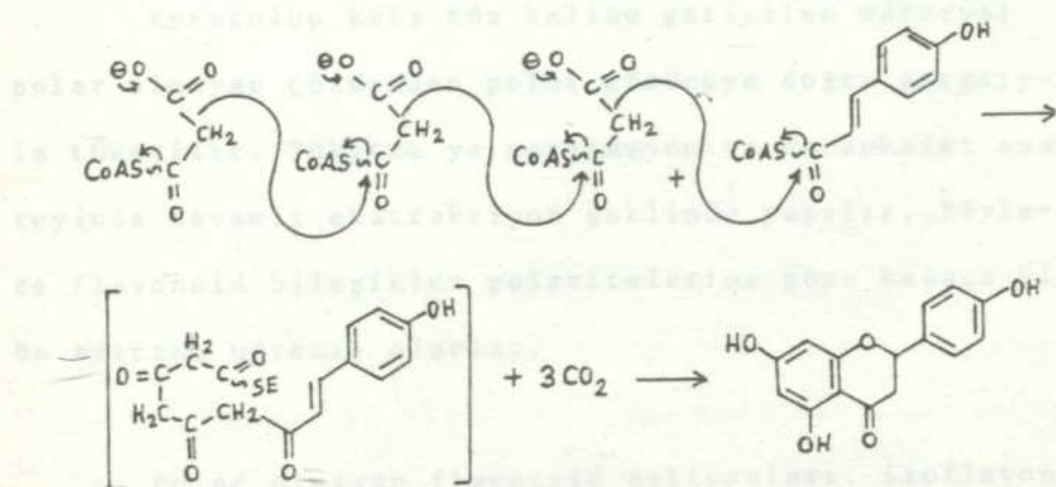
#### 2.3.3.2. OLUŞUMLARI

Flavonoidler bitkilerin ikincil metabolitleridir. Bitkilerin fotosentezle oluşturdukları ve hayatsal gereksinimleri için kullandıkları karbonhidrat, amino asitler v.b. gibi birinci metabolitlerden türerler.

Flavonoidlerin karbon iskeleti sırasıyla A, C ve B halkalarına oluşturan  $C_6-C_3-C_6$  birimleri şeklinde dir. Radyoaktif olarak işaretlenmiş bileşiklerle yapılan deneyler sonucu flavonoidlerin A halkasının asetil koenzim A moleküllerinden veya 3 molekül malonil koenzim A'dan, B ve C halkalarının ise şikimik asit üzerinden oluşan sinnamik asit gibi fenil propanoid

bileşiklerden meydana geldiği saptanmıştır. A hal-kasını meydana getiren asetat üniteleri ile B ve C halkalarını meydana getiren fenil propanoid bileşiklerin kondensasyonu ile flavonoidler oluşur (17, S.87).

Sekil-1'de bu oluşum görülmektedir.



Sekil-1: Flavonoidlerin oluşumu

Biyosentez esnasında kalkon/flavon izomerizasyonu oksidasyon, çevrilme, alkilasyon ve glikozilleme gibi birçok ara reaksiyonlar da yer alır. Şekil 2'de başlıca flavonoid iskeletleri verilmişdir.

### 2.3.2.3. ELDE EDİLMELERİ

#### 2.3.2.3.1. BİTKİDEN TÜKETME

Kurutulup kaba toz haline getirilen materyal polar olmayan çözücüden polar çözücüye doğru sırasıyla tüketilir. Tüketme ya maserasyon ya da Sokslet aparyinde devamlı ekstraksiyon şeklinde yapılır. Böylece flavonoid bileşikler polaritelerine göre kabaca bir ön ayırımı ugramış olurlar.

Polar olmayan flavonoid aglikonları, izoflavonlar, flavononlar, dihidroflavononlar ve metoksi flavonlar, benzen, kloroform veya eter gibi çözüclere kolaylıkla geçebilirler (18). Daha polar flavonoidler, yani polar aglikon ve glikozitleri ise etil asetat, aseton, alkol, su gibi çözüclüler ile tüketilerek elde edilirler.

### 2.3.2.3.2. KROMATOGRAFİK YÖNTEMLER

Flavonoidlerin ekstraktan ayrılması ve saflaştırılması için kromatografik yöntemler kullanılır. Büyük miktarda flavon eldesi için sütun kromatografisi, küçük miktarlar için preparatif ince tabaka ya da kağıt kromatografisinden yararlanılır.

#### SÜTUN KROMATOGRAFİSİ

Bu yöntemde poliklar, selüloz, silikajel ve sefaadeks en çok tercih edilen adsorbanlardır.

Poliklar (polivinil poliproliden): Flavonoid bileşikleri için yüksek ayırma gücüne sahip olduğundan sütun kromatografisinde en çok kullanan adsorbandır. Poliklar molekülündeki  $\text{-NH}_2$  ve  $\text{C=O}$  grupları fenolik  $\text{OH}^-$  larla hidrojen bağı yaparak flavonların ayrılmasını sağlarlar.

Selüloz (mikrokristal) : Flavonoid aglikon ve glikozitleri için iyi bir adsorbandır. Selüloz sütun kromatografisinde gerek adsorbsiyon, gerekse partisyon yöntemine göre ayırım yapmak mümkündür.

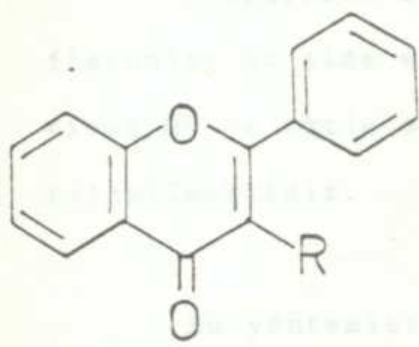
Silikajel: İzoflavonlar, polimetoksi flavonlar, flavononlar ve dihidroflavonoller için kullanılır.

Sefadeks LH-20: Hidroksi propillenmiş dekstran yapısında olup organik çözücü ile çalışma olanlığı sağladığından flavonoidlerin ayırımı ve özellikle saflaştırılmasında çok kullanılır.

#### PREPARATİF VE İNCE TABAKA KROMATOGRAFİSİ

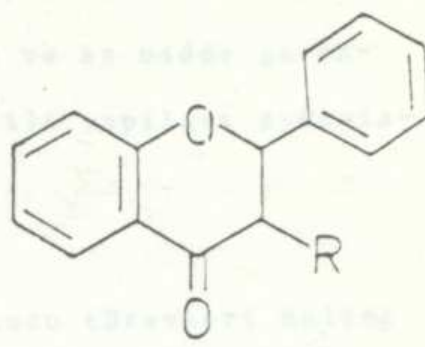
Flavonoidlerin ince tabaka kromatografisi ile preparatif ayırımında en çok kullanılan adsorbanlar poliklor, selüloz ve silikajeldir (19, S.20).

Peraparatif kağıt kromatografisi, flavonoidlerin tanınmalarında ve ayırımlarında kullanılan bir yöntemdir. Preparatif kağıt kromatografisinde analitik çalışmalarda kullanılan tiplerden daha kalın kağıtlar kullanılır (Whatman No. 3 gibi). İyi bir ayırım için çift dimensiyonlu kağıt kromatografisi tercih edilir.



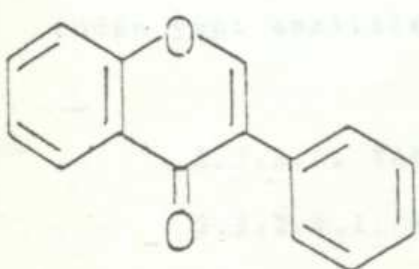
R=H FLAVON

R=OH FLAVONOL

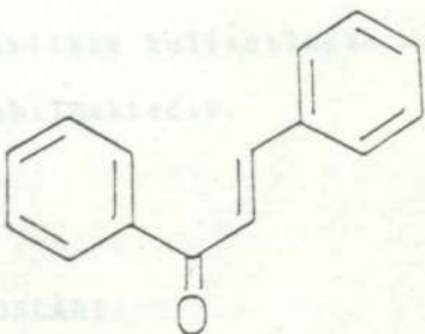


R=H FLAVANON

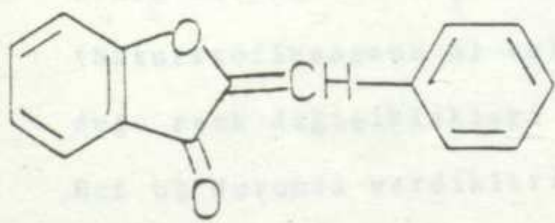
R=OH DİEİDROFLAVONOL



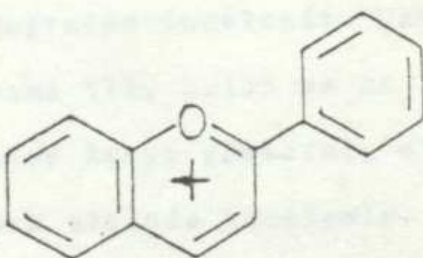
ISOFLAVON



FALKON



AURON



ANTOSİYANİDİN

Preparatif çalışmalarında çok az miktarda olan flavonlar da elde edilebilmekte ve az madde gerektiren UV ve kütle spektrumları ile yapıları aydınlatılabilmektedir.

Bu yöntemlerden başka uçucu türevleri haline getirilmiş flavonoidlerin gaz-likit kromatografisinde ya da yüksek basınçlı sıvı kromatografisinde (HPLC) ayrılmaları da mümkün olmaktadır. Bazen gaz kromatografisi-kütle spektrumu (GC-MS) birlikte kullanılarak doğrudan yapı analizleri de yapılabilmektedir.

#### 2.3.2.4. TANINMALARI

##### 2.3.2.4.1. RENK REAKSİYONLARI

Flavonoidlerin ince tabaka ve kağıt kromatografisi yapıldıktan sonra elde edilen kromatogramlardaki lekeler önce UV ışık altında doğrudan incelenir. Daha sonra sırası ile  $\text{HN}_3$  buharlarına (19, S.13) ve NA (Naturstoffreagenz A) belirtecine karşı göstermiş olduğu renk değişiklikleri UV ışık altında incelenir. Her üç durumda verdikleri floresanslar ile flavonoid bileşigin tipi ve sübstiyonları hakkında ön bilgi edinilir (Tablo 1).

Flavonlar 5-OH durumunda oksidasyon sayılısına bağlı olmaksızın UV ışıkta (336 nm) mor renk verirler. 5,4'-di OH durumunda  $\text{NH}_3$  buharları ve NA belirteci ile sarı, 5,4',3'-tri OH durumunda  $\text{NH}_3$  buharları ile sarı ve NA belirteciyle turuncu renk verirler.

5-deoksi, 5-O-glikozit ya da 5-OCH<sub>3</sub> olduğunda UV ışık altında parlak mavi, parlak yeşil renk verirler.

Flavonollerde, 3-OH serbest ise UV ışık altında sarı renk vererek flavonlardan ayırdedilirler. 3',4-OH flavonoller  $\text{NH}_3$  buhari ve NA belirteci ile sarı, 3',4'-OH flavonoller ise  $\text{NH}_3$  buhari ile sarı, NA belirteci ile turuncu renk verirler.

Ayrıca flavonoidlerin sulu NaOH, derişik H<sub>2</sub>SO<sub>4</sub>, Mg-HCl ve Na-Hg (sonra asid) belirteçleri ile de verdikleri renk reaksiyonlarından bileşigin tipi ve sübsitusyonları hakkında ön bilgi edinilebilir (Tablo 2), (20, S.72).

Tablo 1- Flavonoid bilesiklerin renk reaksiyonları

	UV	UV/NH <sub>3</sub>	UV/NA	Flavonoid Bilesik
Koyu mor	Koyu mor	Koyu mor	5-OH açık, 3-OH yok ya da kapalı, 3'-4' OH yok veya kapalı.	
Koyu mor	Koyu mor	Sarı	5-OH açık, 3-OH ya da kapalı, 4'-OH kapalı, 3'-OH açık.	
Koyu mor	Sarı	Sarı	5-OH açık, 3-OH yok ya kapalı, 4'-OH serbest, 3'-OH yok, ya da kapalı.	-23 -
Koyu mor	Gül	Turuncu	5-OH açık, 3-OH yok ya da kapalı, 3'-4' OH açık.	
Koyu mor	Koyu kahverengi	Turuncu	5-6OH var, 3-OH yok ya da kapalı, 3'-4-OH var.	
Koyu mor	Koyu kahverengi	Kahveren-gi	5-6 OH var, 3-OH yok ya da kapalı, 3' ya da 4'-OH açık.	
Sarı	Sarı	Sarı	Serbest 3 ve 5-OH var.	
Sarı	Gül	Kırmızı-turuncu	3 ve 5-OH açık, 3'-4' OH var.	
parlak flo-	Parlak flo-	Mavi	5-OH yok, ya da kapalı, 3-OH yok ya da kapalı.	
resan mavi	resan mavi	Mavi-ye-sil		
parlak flo-	Parlak flo-	Mavi-ye-sil	5-OH yok, ya da kapalı, 3-OH yok ya da kapalı, 3'-4' OH var.	
resan mavi	resan mavi	Mavi-ye-sil		
parlak flo-	Daha par-lak flo-	Mavi	5-OH yok ya da kapalı, 3'-4' OH yok.	
resan sarı	resan sarı	Mavi-ye-sil		
parlak flo-	Daha par-lak flo-	Mavi-ye-sil	5-OH yok, ya da kapalı, 3'-4' OH var.	
resan sarı	resan sarı	Mavi-ye-sil		

Tablo 2: Flavonoid bileşiklerin, renk reaksiyonları

Flavonoid Tipi	Sulu NaOH	Derişik $H_2SO_4$	Mg-HCl	Na-Hg (sonra asid)
Flavonon	Soğukta; sarı-turuncu, sıcakta; koyu kırmızı veya mor	Turuncu → koyu kırmızı, mavi	Kırmızı, morumsu kırmızı, menekse mavi	Kırmızı
Flavon	Sarı → turuncu → zelti sık karakteristik floresans.	Şiddetli sarı → turuncu zelti sık karakteristik floresans.	Sarı → kırmızı mavi	Kırmızı
Flavonol	Sarı → turuncu (hava oksidasyonu ile kahveren- gi).	Şiddetli sarı → turuncu zelti sık karakteristik floresans	Kırmızı → morumsu kırmızı	Sarı → soluk kırmızı
Flavono- nol	Çok soluk sarı, kahve- rençiye çok çabuk değiş- me.	Kırmızı → sarı morumsu	Kırmızı → kırmızı	Kahverengim- si-sarı

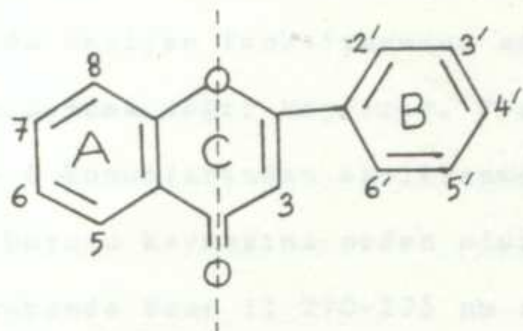
#### 2.3.2.4.2. SPEKTRAL YÖNTEMLER

##### UV SPEKTROSKOPİSİ

Bu yöntemle çok az miktarda (0.1 mg kadar) madde kullanarak flavonoid bileşigin yapısı hakkında önemli bilgiler edinilir.

Bileşigin uygun bir çözücüdeki (özellikle metanol) çözeltinin spektrumu ve özel belirteçler ilâvesi ile spektrumlarda gözlenen kaymalar, bileşigin ana iskeleti ve sübstituentleri hakkında geniş bilgiler verir (19, S.41).

Flavonoid bileşiklerin UV spektrumunda genel olarak biri uzun dalga boyunda, diğeri kısa dalga boyunda olmak üzere iki büyük absorbsiyon bandı gözlenir. Bulardan uzun dalga boyunda olup flavonoidin B halkası (sinnamoil) ile ilişkisi olanı Bant I adını alır. Kısa dalga boyunda olanı ise A halkası (benzoil) ile ilişkilidir ve Bant II adını alır.



benzoil sinnamoil

Flavonlerde A halkalarında fazla hidroksil

Flavonoid bileşiklerde uzun dalga boyalarına kayma (batokromik kayma) A ve B halkalarında hidroksil sayısı ile doğru orantılı olarak artar. Özellikle 3,5 ve 4' konumundaki hidroksil gruplarına sübstitüent girmesiyle Bant I ve Bant II daha kısa dalga boyuna (hipsokromik kayma) kayar.

#### METANOL SPEKTRUMU

Flavonoid bileşigin metanol spektrumu özellikle iskelet tipi hakkında bilgi verir.

Flavonlarda Bant I 304-350 nm arasında, flavonollerde 3-OH grubu serbest ise 352-385 nm arasında, 3-OH

grubu sübstítüe olmuşsa 328-357 nm arasında gözlenir. B halkasında oksijen fonksiyonunun artması Bant I'ı uzun dalga boyuna doğru kaydırır. Flavonlarda A halkasının 6 ve 8 konumlarından oksitlenmesi Bant II'nin uzun dalga boyuna kaymasına neden olur. Örneğin  $6-\text{OCH}_3$  sübstítüsyonunda Bant II 270-275 nm arasında gözlenirken  $6-\text{OH}$  sübstítüsyonunda 280-285 nm civarına kayar (19, S.45).

Flavonollerde A halkasındaki farklı oksijen fonksiyonları farklı kaymalara neden olurlar.  $6-\text{OH}$  flavonollerde 8-12 nm'lik bir hipsokromik kayma gözlenirken  $6-\text{OCH}_3$  flavonollerde kayma gözlenmez.  $8-\text{OH}$  flavonollerde ise 13-16 nm'lik bir batokromik kayma gözlenir (21, S.241).

İzoflavon ve flavononlarda Bant I'in absorbsiyonunu düşük şiddette, kimi zaman bir omuz halinde görürken, Bant II'nin şiddeti artar. Bant II izoflavonlarda 245-270 nm arasında, flavonlarda ise 270-295 nm arasında yer alır.

Kalkon ve oronlarda Bant I ana absorbsiyon bandı olarak gözlenir, kalkonlarda 340-390 nm, oronlarda 370-420 nm arasında yer alır.

### SODYUM METİLAT SPEKTRUMU

Sodyum metilat kuvvetli bir baz olduğu için flavonoid bileşikteki bütün hidroksil gruplarını iyonize eder. Özellikle molekülde serbest 4'-OH olması halinde Bant I 40-65 nm kadar uzun dalga boyuna kayar ve şiddeti artar. Fakat serbest 3-OH'a sahip flavonoidlerde, 4'-OH serbest olmasa bile 50-60 nm'lik bir kayma gözlenir, ancak bandın şiddeti azalır.

Flavon ve flavonollerde 7-OH grubu serbest halde ise Bant I'in kısa dalga boyuna bakan kısmında 305-350 nm arasında bazen omuz, bazen de düşük şiddetli bir pik halinde Bant III gözlenir (22).

Flavon ve flavonollerde 5,6,7 veya 5,7,8 trihidroksi, 3,4'-dihidroksi ve 3,3',4' trihidroksi durumları varsa bozunma nedeni ile bant I'in şiddeti zamanla azalır (19, S.47).

### ALUMİNYUM KLORÜR SPEKTRUMU

$\text{AlCl}_3$ , flavon ve flavonollerde 5-OH, 3-OH ve B halkasındaki orta dihidroksi grupları ile ayrı ayrı kelat



oluşturur. B halkasındaki o-dihidroksi gruplarıyla o-luşan kelat zayıf olduğundan seyreltik HCl ilavesiyle bozunur ve 30-40 nm'lik bir hipsokromik kayma gösterir.

AlCl<sub>3</sub>/HCl belirteciyle flavonoid bileşiklerin C-6'daki sübstansiyonu aşağıdaki değerlerle anlaşılır: Metanol spektrumuna göre Bant I'de meydana gelen batokromik kayma 5-OH, 6-OCH<sub>3</sub> sisteminde 16-23 nm (23), 5-OH, 6-OH sisteminde 25-30 nm (24), 5-OH, 6-H sisteminde ise 35-55 nm (19, S.54) kadardır.

#### SODYUM ASETAT SPEKTRUMU:

Sodyum asetat, sodyum metoksitten daha zayıf bir baz olduğu için ancak daha asidik hidroksil gruplarını etkiler.

Flavon ve flavonollerde 7 konumundaki hidroksil grubu serbestse NaOAc'in ilavesiyle gözlenen Bant II, metanol spektrumundaki Bant II'ye göre 5-20 nm'lik bir batokromik kayma gösterir. Ancak, flavonlarda 6 ya da 8 konumlarında oksijen varsa bu durum gözlenmez (19, S.48) (17, S.58). Ayrıca 7-OH grubu serbest olan 4'-hidroksi

flavon ve flavonollerde sodyum asetat ilâvesiyle alınan spektrumun Bant I'i, sodyum metoksit spektrumundaki Bant I'e göre daha düşük dalga boyuna kayar (22).

#### SODYUM ASETAT/BORİK ASİT SPEKTRUMU

Borik asit, sodyum asetatlı ortamda moleküldeki orto-dihidroksi gruplarıyla kelat yapar. B halkasında O-dihidroksi durumu varsa flavon ve flavonollerde Bant I, 12-30 nm kadar uzun dalga boyuna kayar. A halkasında 6,7 veya 7,8 konumlarında hidroksil grupları içeren flavonoidlerde bu kayma daha da artar (19, S.51).

#### $^1\text{H}$ NMR SPEKTRUMU

Flavonoid bileşiklerin büyük kısmı polar karakterde olduğundan NMR spektrumlarını almak için bir süre uygun çözücü bulunamamış, ancak apolar karakterdeki flavonoidlerin analizi yapılabilmisti. Daha sonraları  $\text{d}_6$ -dimetilsülfoksit gibi polar çözüler kullanılarak polar karakterdeki flavonoidlerin  $^1\text{H}$  NMR spektrumları alınabilmiş, ancak bu çözününün kaynama derecesinin yüksek oluşu, nem çekici olması gibi özellikleri flavonoid bileşigin bozunmasına ve geri kazanılmasında güçlükler neden olmuştur.

Bugün flavonoid bileşiklerin NMR spektrumları, trimetilsilik eter türevleri (TMSi) halinde,  $\text{CCl}_4$ ,  $\text{CDCl}_3$ ,  $\text{C}_6\text{D}_6$ ,  $\text{C}_5\text{D}_5\text{N}$  veya bunların karışımı gibi polar olmayan çözümlerde alınmaktadır (19, S.255).

#### A HALKASI PROTONLARI

5,7-dihidroflavonlarda  $\text{C}_6$  ve  $\text{C}_8$  meta protonları 5.7-6.9 ppm arasında  $J$  değeri 2.5 Hz olan iki ayrı duplet halinde gözlenir.  $\text{C}_6$  protonuna ait duplet  $\text{C}_8$  dupletinden daha yukarı alanda bulunur, 7-OH grubuna şeker bağlı ise her iki duplet de daha aşağı alana kayar. Eğer 5 ve 7'ye ilâveten 6 veya 8'de de sübstîtuent varsa  $\text{C}_6$  veya  $\text{C}_8$  protonu 6-6.5 ppm arasında bir singlet olarak gözlenir.

Sadece 7-OH grubu taşıyan flavonoidlerde  $\text{C}_5$  protonu, 4-keto grubunun negatif gölgeleme etkisi ve  $\text{C}_6$ 'nın orto etkileşimi ile 8 ppm civarında  $J$  değeri 9 Hz olan bir duplet halinde görülürken  $\text{C}_6$  ve  $\text{C}_8$  protonları ise 5,7-dihidroflavonlara göre daha aşağı alana kayarlar.  $\text{C}_6$  protonu hem  $\text{C}_5$ , hem de  $\text{C}_8$  protonları ile etkileştiği için  $J$  değeri 9 (orto) ve 2.5 (meta) Hz olan

duplet-duplet, C<sub>8</sub> protonu ise J değeri 2.5 (meta) Hz olan bir duplet olarak gözlenir.

#### B HALKASI PROTONLARI

C'4'den sübstitüe flavonoidlerde B halkasının serbestçe dönebilmesine bağlı olarak C'2 ve C'6 ile C'3 ve C'5 protonları orto etkileşimli iki duplet halinde 6.5-7.9 ppm arasında görülür. C'3 ve C'5 protonlarının dupleti genellikle C'2 ve C'6 protonlarından daha üst alanda görülür (19, S.265).

3',4'-disübstitüe flavonlarda C'5 protonu J değeri 8.5 Hz olan bir duplet halinde 6.7-7.1 ppm arasında çıkar. C'2 ve C'6 protonları genellikle 7.2-7.9 ppm arasında görülür ve aletin resolüsyonu az ise birbirinin içine girerler. C'2 protonu meta etkileşimden dolayı J değeri 2.5 Hz olan bir tuplet halinde, C'6 protonu ise hem orto, hem meta etkileşimden dolayı J=2.5 Hz ve 8.5 Hz olan bir çift duplet halinde ve genellikle birbirlerinin üzerinden aşıklarından bir multiplet olarak gözlenirler. C'2 ve C'6 protonlarının birbirlerine göre kimyasal kayma değerleri 3' ve 4' konumlarındaki hidroksil gruplarının metillenme durumuna göre değişir. 4'-OCH<sub>3</sub>, 3'-OH flavonoidlere

$C_2'$  protonu  $C_6'$ 'dan daha yüksek alanda çıkarken  $3'-OCH_3$ ,  $4'-OH$  flavonoidlerde ise durum tam tersindedir.

#### C HALKASI PROTONU

Flavonlarda C halkasındaki  $C_3$  protonu 6.3 ppm civarında keskin bir singlet olarak çıkar. Flavonollerde  $C_3$ 'de serbest ya da sübstítüe hidroksil bulunduğu için bu bant yoktur.

#### SEKER PROTONLARI

Flavonoidlerde şekerler ya oksijen üstünden ya da doğrudan doğruya karbona bağlanırlar. Bu bağlanışlara göre O-glikozitleri ve C-glikozitleri diye sınıflandırılırlar.

Flavonoidlerin O-glikozitlerinde şeker protonları 3-4 ppm arasında multiplet olarak çıkarken şekerin  $H_1$  protonu daha aşağı alanda 4.8-6.0 ppm civarında duplet olarak çıkar (19, S.268).

$H_1$ 'in kimyasal kayma değeri, şekerin bağlanma yeri, cinsi ve stereo kimyasal özelliklerini hakkında bilgi verir, şeker 5,7 veya 4' konumlarından bağlı ise 4.8-5.2 ppm arasında gözlenir. Flavonollere 3 konumdan glikoz bağlanmasıyla  $H_1$  protonu 5.7-6.0 ppm'de görülür. Aynı konumdan bir metil pentoz olan ramnozun bağlanmasıyla  $H_1$  protonu 5-5.1 ppm de gözlenir, ramnozun metil grubu ise 0.8-1.3 ppm arasında  $J=6.5$  Hz olan bir duplet ya da multiplet olarak izlenir.

Şeker  $\beta$ -bağı ile bağlanmışa şekerin  $H_1$  ve  $H_2$  protonları dieksen etkileşimden dolayı  $J=7$  Hz olan  $\alpha$ -bağı ile bağlanmışa diekvatoryal etkileşimden dolayı  $J=2$  Hz olan bir duplet olarak gözlenir, eğer şeker molekülünün dönüşü çevre gruplar tarafından kısıtlanırsa daha belirgin bir duplet gözlenir (17, S.70).

Birbirine bağlı iki şeker varsa halkaya bağlı şekerin  $H_1$  protonu aromatikliğin etkisiyle aşağı alana kayar ve 5.1-5.9 ppm de gözlenirken ikinci şekerin  $H_1$  protonu daha alifatik yapıda olduğu için 4.65 ppm civarında multiplete benzer pik verir ve geri kalan bütün protonlar 3-4 ppm arasında çıkarlar.

Flavonoidlerin C-glikozitlerinde şeker genellikle C<sub>6</sub> ya da C<sub>8</sub>'den bağlanır. 5,7-dihidroksi mono C-glikozitlerin C<sub>3</sub>, C<sub>6</sub> ve C<sub>8</sub> protonlarının veya glikozit asetillendiğinde şekerin C<sub>2</sub>" asetil protonumun gösterdiği farklı kimyasal kaymalardan şekerin 6 veya 8 konumunda olduğunu saptamak mümkün olmaktadır. C-glikozit flavonoid asetatların flavona ait aromatik ve şeker ait alifatik sinyalleri çok karakteristikdir (17, S. 673), (21, S.581).

C-glikozitler, asit hidroliz ile O-glikositlerin hidrolizlendiği şartlarda şeker ve aglikon kısımlarına ayrılmazlar, ancak FeCl<sub>3</sub> oksidasyonu veya periyodik asit oksidasyonu ile parçalanabilirler.

Periyodat oksidasyonu yaygın olarak kullanılmış olmasına rağmen sonuçta elde edilen ürünler şekerin bozunma ürünleri olmaktadır. Ferri klorür ile oksidasyonda ise flavon halkasının parçalanmasına rağmen şekerin bozunmadan elde edilmesi mümkündür, bu nedenle C-glikozitlerdeki şekerin tayin etmek için FeCl<sub>3</sub> ile oksidasyon yolu daha çok kullanılır (17, S.672), (21, S.480). Ayrıca kütle spektrografisi, şekerleri belirler.

### METOKSİ PROTONLARI

Flavonoid çukuruna bağlı metoksi grupları na ait protonlar çözücü olarak  $\text{CCl}_4$ ,  $\text{CDCl}_3$  ve  $d_6\text{-DMSO}$  (dötro dimetil sülfoksit) kullanıldığında 3.5-4.1 ppm arasında görülürler. Metoksi grublarının konumlarını belirlemek için önce TMSi türevi halinde  $\text{CCl}_4$  gibi inert bir çözücüde alınan NMR spektrumu daha sonra  $d_6\text{-benzen}$  de alınır,  $d_6\text{-benzenin}$  etkisiyle  $\text{CCl}_4$ 'deki spektruma oranla 3.6 ve 8 konumlarındaki metoksi grupları hemen hiç kaymazlarken B halkasında 3',4',2' ve A halkasında 7 konumlarındaki metoksi grupları üst alana doğru 0.35-0.7 ppm'lik bir kayma gösterirler (25),  $C_3$ -metoksi grubu ve orto durumundaki iki metoksi grubu ya da orto durumundaki metoksi ve hidroksi grupları ise ya çok küçük ya da hiç kayma göstermezler. Kütle bölünme parçalarından  $-OMe$  grubunun A ya da B halkasında olmadığı anlaşılır.

### $^{13}\text{C}$ NMR SPEKTRUMU

Flavonoidin C halkasındaki karbonil grubu 170-210 ppm civarında gözlenir. Aromatik karbonlardan oksijene komşu olanlar 130-165 ppm arasında gözlenirken oksijene komşu olmayanlar 95-130 ppm civarında gözlenirler.

Aromatik  $\text{OCH}_3$  karbonları 55-60 ppm civarında çıkarken aromatik  $\text{C}-\text{CH}_3$  ve  $-\text{COCH}_3$  gruplarının metil karbonları daha üst alanda (20 ppm civarında) gözlenirler. Oksijene komşu olan şeker karbonları 55-105 ppm arasında, oksijene komşu olmayan karbonlar ise 40-80 ppm arasında gözlenirler. Alifatik  $\text{C}-\text{CH}_3$  metil karbonları ise (10-20) ppm civarında gözlenir (21, S.21).

Moleküle yeni bir sübstituent katılması, yanındaki  $^{13}\text{C}$  atomunun kimyasal kaymasına neden olur. Genellikle basit aromatik sistemler için konulan kurallar flavonoid spektrumlarının yorumlanması için de geçerlidir. Flavonoidin 3 yerine bir OH katıldığında bu karbon bandı aşağı alana kayar ve beklenenden 33 ppm kadar aşağı alanda çıkar. Bu arada  $\text{C}_2$ 'deki orto etkisi ise beklenenden daha büyük çıkararak 17 ppm kadar yukarı alana kayarlar (26, 27).

Serbest hidroksil gruplarının asetillenmesi ile flavonoidlerin  $^{13}\text{C}$  NMR spektrumunda gözlenebilen farklılıklar meydana gelir. Asetillenen hidroksilin bağlı olduğu karbon atomu 6.6-15 ppm kadar yukarı alana kayarken, orta konumdaki karbon 4.1-12.1 ppm, para konumdaki karbon ise 2-7.9 ppm kadar aşağı alana kayar (28).

Serbest hidroksil gruplarının metilenmesi halinde, hidroksilin bağlı olduğu karbon 1-4.7 ppm aşağı, orta konumdaki karbon 0.8-3.6 ppm yukarı alana kayar (27).

#### KÜTLE SPEKTRUMU

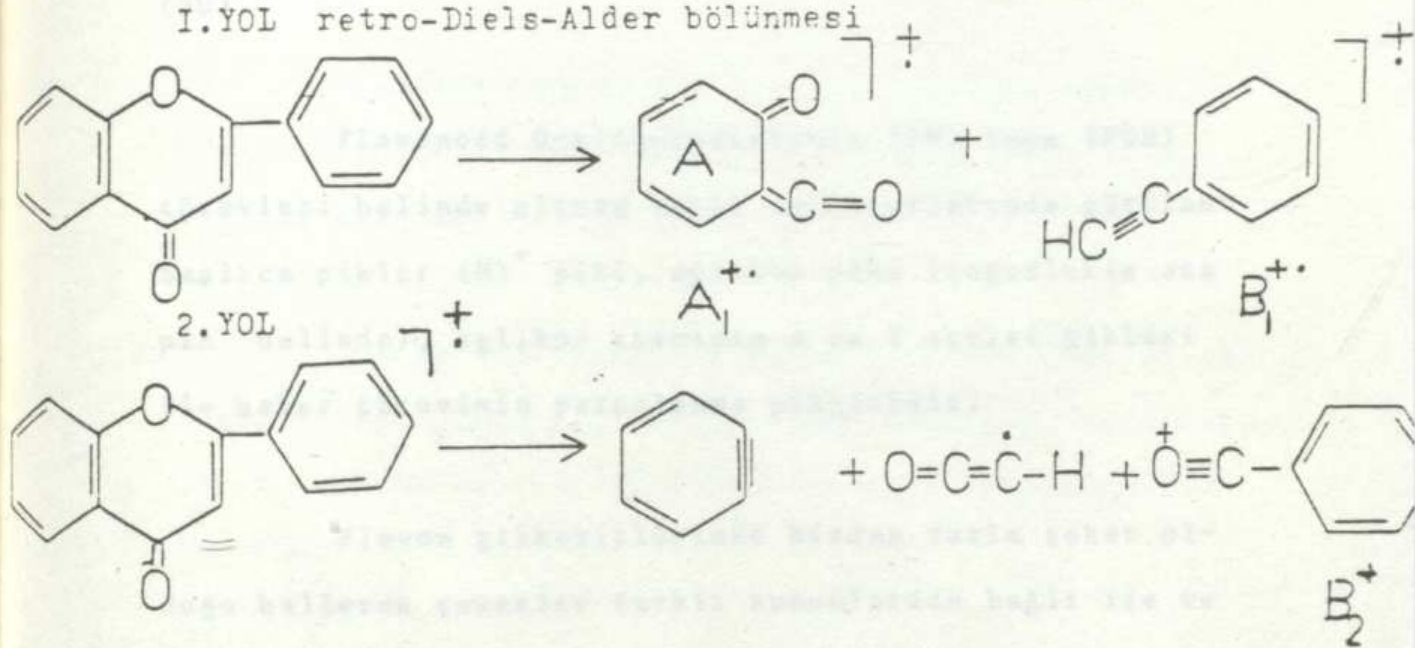
Flavonoid aglikon ve glikozitlerinin yapı tayinlerinde kütle spektrumu çok küçük miktarlara (1 mg'dan az) uygulanabilir olmasından dolayı çok kullanılır.

Elektron bombardımanı yöntemiyle flavonoid aglikonlarının çoğu kevvetli moleküller iyon piki ( $M^+$ ) verirler, hatta bu genellikle spektrumdaki ana piktir. Flavonoid glikozitleri ise uçucu özelliklerinin az olması nedeniyle nadiren moleküller iyon verirler, bu nedenle kütle spektrumunda uçucu türevleri haline getirilerek incelenirler. En çok kullanılan türevler permetil eteri (PM) ve aglikonda metoksi grubu bulunması halinde perdötrometil eterleridir (PDM) (29).

Flavon aglikonlarının moleküller iyondan başka gözlenen belirgin pikleri  $(M-H)^+$ ,  $(M-CO)^+$ , metoksi flavonlar için  $(M-CH_3)^+$  ve  $(M-CO-CH_3)^+$  pikleridir.

Ayrıca A ve B halkaları koparak bir seri iyon oluştururlar. Flavon aglikonları A ve B iyon serilerini genellikle iki yoldan oluştururlar. Bu yollardan birisi retro Diels-Alder bölünmesidir (Şekil 3), (17, S.80).

I.YOL retro-Diels-Alder bölünmesi



Flavonoidlerin kütte spektroskopisinde bölünme yolları

Şekil-3

Kütte spektrumundaki moleküller iyon piki, A ve B serilerinin piklerine karşılık gelen kütte birimleri

ve bu piklerin şiddetleri flavonoid bileşigin yapısı hakkında bilgi verir.

6-OCH<sub>3</sub> flavonlar ile flavonol 3-metil eterle-rinde moleküller pik (M)<sup>+</sup> %100 şiddette olurken 8-OCH<sub>3</sub> taşıyanlarda ise (M-CH<sub>3</sub>)<sup>+</sup> piki %100 şiddette olmaktadır (30).

Flavonoid O-glikozitlerinin (PM) veya (PDM) türevleri halinde alınan kütle spektrumlarında görülen başlıca pikler (M)<sup>+</sup> piki, aglikon piki (çoğunlukla ana pik halinde), aglikon kısmının A ve B serisi pikleri ile şeker türevinin parçalanma pikleridir.

Flavon glikozitlerinde birden fazla şeker olduğu hallerde şekerler farklı konumlardan bağlı ise ve ayrıca açılabilirlik söz konusu ise bunlar da türevleri halinde kütle spektrumunda saptanabilirler (31).

Flavon C-glikozitlerinin direkt kütle analiz-lerinde moleküller pik nadiren gözlenir ana tepe (aglikon+ CH<sub>2</sub>)<sup>+</sup> şeklinde çıkar. Ayrıca bir, iki ve üç molekül su kaybına karşılık olan M-(H<sub>2</sub>O)<sub>n</sub><sup>+</sup> pikleri alifatik polihidroksi sistemler içni karakteristikdir. C-glikozitlerinin PM ya da PDM türevleri halinde alınan spektrumlarında, moleküller pik küçük de olsa gözlenir.

## 2.4. VERBASCUM TÜRLERİYLE BUGÜNE KADAR YAPILMIŞ ÇALIŞMALAR

Verbascumlarda steroidler, terpenik maddeler, flavonlar, iridoidler, az miktarda alkaloidler ve doy-muş yağ asitleri bulunmaktadır.

Verbascum thapsus bitkisi üzerinde yapılan çalışmalardan doymuş yağ asitlerinden palmitik, stearik, oleik, linoleik, araşidik, behenik asidler bulunmuştur (34).

Flavon olarak apigenin ve türevleri, luteolin ve türevleri Verbascum türlerinde çok görülür.

Değişik Verbascum türlerinden elde edilen bileşikler aşağıda verilmiştir.

#### 2.4.1. STEROİD VE TERPENOİD MADDELER

V. cheiranthifolium: Saponin (3)

V. lasianthum:  $\beta$ - Sitosterol (32)

V. thapsus: Veratrik asid,  $\alpha$ -spinasterol, saikogenin A, 5- (etoksi-metil) furfural (33),  $\beta$ -sitosterol, ergosta - 7 - en - 3  $\beta$ - ol (34).

V. phlomoides: Saponin (35,36), verbaskosaponin, verbaskojenin (35,37), aukubin, katalpol, kafeik asid,  $\beta$ -kumarik asid glikozit, dijiprolakton,  $\beta$ -sitosterol, stigmasterol (38).

V. lychnitis:  $\alpha$ -spinasterol, stigmast-22-en-3  $\beta$ -ol, ursolik asid (39).

#### 2.4.2. FLAVONOİD MADDELER

V. phlomoides: Hesperidin (40,41), flavonol-3- glikozit (40), diosmin, tamariksetin 7-O- glikozid, tamariksetin 7-O- rutinozid (41), apigenin, apigenin 7-O- glikozid, luteolin, luteolin 7-O- glikozid, krizoeniol, eriodiktyol, kamferol, kersetin, rutin, tamariksetin 7-O- ramnoglikozid (42)

V. Lychnitis: Apigenin, Luteolin, 3',4',5-trihydroxy-7-methoxyflavone, Luteolin 5-glikozit (43).

Degisik Verbascum türlerinden; V. lychnitis' - ten aukubosid, katalpol, asasetin, aynarosid, isokatalpol, katalposid (39), liçnitosid (44); V. sinvatum'dan 6-O- -L- ramnopiranosalukubin (45), 6-O- $\alpha$ - sinuato-silaucubin (46), harpagosid, diakiliridoiddiglikosid (45,46), sinuatosid (47); V. georgicum'dan verbascosid A, ramnopiranosalukatalpol, aukubin (48); V. saccatum' - dan aukubin, 6- $\alpha$ - ramnosyekatalpol, sakkatosid (38); V. thapsus'dan aukubin, katalpol (49), V. thapsus'dan aukubin, katalpol (49), tapsuin A, tapsuin B, hidroksitapsuin A, hidroksitapsuin B (50) iridoid maddeleri saptanmıştır.

Alkaloid olarak ta; V. nobile'den hiyosikamin, papaverin, kuinin (51), verbaskin, verbasin (52); V. songaricum'dan anabasin, plantagonin (53) maddeleri bulunmuştur.

### SÜTUNLARIN SÜZÜMÜ

## 3. DENEYSEL BÖLÜM

### 3.1. GENEL TEKNİKLER

#### 3.1.1. KROMATOGRAFİK YÖNTEMLER

##### 3.1.1.1. SÜTUN KROMATOGRAFİSİ

### ADBORBANLAR

Silikajel 40, parçacık büyüğlüğü 0.063-0.2 mm  
(70-230 mesh) (E. Merck).

— Poliklar (Polyclar) (Gaf Corporation)

Sefadeks (Sephadex LH-20) (Pharmacia Fine Chemicals).

### SÜTUNLARIN HAZIRLANMASI

Ekstre miktariña uygun çap ve uzunlukta cam sütunlar kullanıldı, Örneğin (3.5x60 cm), (3x50 cm), (1.5x20 cm).

Silikajel Sütun:

Sütuna yerleştirilecek ekstrenin yaklaşık 60 katı kadar silikajel tartıldı. Çok az bir kısım silikajel ise yoğunlaştırılmış ekstre çözeltisiyle homojen bir şekilde karıştırılıp önce oda ısısında, sonra vakum etUVünde tamamen kurutuldu. Silikajel adsorban, sütün boyunun 2/3'ünü dolduracak şekilde konulup üzerine kurutulan ekstre-adsorban karşımı yerleştirildi, sütun yıkamaya başlandı.

Poliklar Sütun:

Kloroform-ethanol (2:1) çözücü sisteminde en az 24 saat şişirilen poliklar, ekstre miktarına uygun olarak seçilen cam sütunun 2/3'ünü dolduracak şekilde konuldu, polikların yerleşmesi uzun süre akıtilarak sağlandı. Yoğunlaştırılmış ekstre çözeltisi sütunun üzerine bir pipet yardımı ile yavaşça ilave edilerek poliklara emdirildi, tamamen emdirildikten sonra sütun elüsyon çözeltisiyle yıkamaya başlandı.

Sefadeks Sütun:

Ekstre miktarına uygun sefadeks metanol veya etanol ile 48 saat şişirildikten sonra sütunun 2/3'ünü kaplayacak şekilde yerleştirilip üzerine ekstrenin yoğun çözeltisi dikkatli bir şekilde kapiler bir pipete ilave edildi.

3.1.1.2. İNCE TABAKA KROMATOGRAFİSİ

ADSORBANLAR

Silikajel G (Kiesel G.E. Merck Typ 60)

Selüloz (Cellulose Microcrystallin E. Merck).

PLAKLARIN HAZIRLANMASI

70 gram silikajel G, 140 ml distile su ile 5 dakika sürekli çalkalandı. Camag plak kaplama aygıtıyla (5x20 cm) ve (20x20 cm) boyutlarındaki cam plaklarının üzeri 0.3 mm kalınlıkta kaplandı. Oda ısısında kurutulup 105° C'lik etüvde 1 saat tutularak aktive edildi.

Selüloz plaklar için 30 gram mikrokristalin selüloz, 90 ml distile su ile 5 dakika sürekli çalkalayıp

yne Camag plak kaplama aygıtiyla (5x20 cm) ve (20-20 cm) boyutlarındaki cam plaklara dökülperek 0.3 mm kalınlığında kaplandı ve oda ısısında kurutuldu.

### 3.1.1.3. KAĞIT KROMATOGRAFİSİ

Bu yöntem şekerlerin, aminoasitlerin ve fenolik asitlerin tanınması amacıyla, ayrıca çift dimensiyonlu olarak bir ekstredek flavonoid bileşiklerin varlığını kontrol etmek amacıyla kullanılır.

Kullanılan kağıt: Schleicher und Schüll GMBH ve Whatman No 1.

— İnen usulde çalışıldı, kromatografi kabı 24 saat çözücü buharlarıyla doyurulduğundan sonra kullanıldı. Kromatografi süresi şekerler için genellikle 36 saatdir.

### 3.1.2. SPEKTROFOTOMETRİK YÖNTEMLER

#### 3.1.2.1. UV SPEKTROFOTOMETRESİ

Spektrumlar Varian Techtron 635 aygıtında 1 cm'lik kuvars küvetlerde alındı. Ölçmeler bileşiklerin metanoldeki çözeltilerinde yapıldı. Ayrıca flavonoid bileşiklerin

kayma spektrumlarının alınabilmesi için bileşigin metanoldeki çözeltisine sırasıyla NaOMe, susuz AlCl<sub>3</sub>, AlCl<sub>3</sub>/HCl, eritilerek AcOH'den kurtarılmış NaOAc ve NaOAc/H<sub>3</sub>BO<sub>3</sub> çözeltileri ilave edildi.

### 3.1.2.2. IR SPEKTROFOTOMETRESİ

IR spektrumları NaCl kristalleri arasında ya da KBr tabletleri halinde "Perkin Elmer 577 Grating Spectrophotometer" aygıtında alındı.

### 3.1.2.3. <sup>1</sup>H NMR SPEKTROFOTOMETRESİ\*

<sup>1</sup>H NMR spektrumları 90 MHz ve 200 MHz'lik aletlerde alındı.

Varian EM 390: 90 MHz

NT-FT (Nicholet): 200 MHz

---

\*<sup>1</sup>H NMR ve MS ölçmeleri Austin-Texas Üniversitesinde yapılmıştır. Bu spektrumlar için Prof. Dr. T.J. Mabry'e teşekkür ederiz.

. Çözücü olarak  $\text{CDCl}_3$ ,  $\text{C}_5\text{D}_5\text{N}$  veya  $\text{CDCl}_3/\text{C}_5\text{D}_5\text{N}$  karışımı kullandı.

Spektrografi

Flavonlar trimetilsilik eterleri (TMSi) halinde, steroid bileşik ise doğrudan ölçüldü. İç standart olarak tetrametilsilan ilave edildi.

3.1.2.4. KÜTLE SPEKTROMETRESİ

Du Pont 21-491 aleti kullanıldı.

3.1.3. ERİME DERECESİ

Bileşiklerin erime dereceleri Reichert firmasının Kofler model aygıtında temperatura ayarı yapılmadan ölçüldü.

3.1.4. BELİRTEÇLER

3.1.4.1. STEROİD BELİRTEÇLERİ

Liebermann-Burhard Belirteci:

Bileşigin kloroformdaki çözeltisine birkaç damla asetanhidrit ilave edildikten sonra derişik sülfürik asitle tabakalandırılır.

Steroid bileşigin tanınmasında kullanıldı.

Serik Sülfat Belirteci:

2 gram seryum (IV) sülfatın 100 ml %10'luk sülfirik asitte çözülmesi ile hazırlanır. Belirteç püskürtüldükten sonra kromatografi plaqı 100°C'de 5-10 dakika lekeler oluşuncaya kadar bekletilir.

3.1.4.2. FLAVONOİD BELİRTEÇLERİ

1.5 gram tuzalanmış flavonoid 100 ml NH<sub>3</sub> buharları ve NA (Naturstoffreagenz A, difenil borik asit β-amino etilester) belirteci kullanılır. Bir spatül ucu NA belirteci 100 ml. metanol veya etanolde çözülerek hazırlanır.

Flavonoid bileşiklerin tatbik edildiği kromatografi plaqı çözücü sisteminde yürütülüp kurutulduktan sonra NH<sub>3</sub> buharlarına tutulur, daha sonra NA belirteci püskürtülür.

3.1.4.3. ŞEKER BELİRTECİ

Anilin Ftalat Belirteci:

1.66 gram ftalanhidrit ve 0.93 gram taze distillenmiş anilin suyla doyurulmuş butanol ile 100 ml'ye tamamlanarak hazırlanır.

Kromatografi plaklarına anilin ftalat belirteci püskürtüldükten sonra  $100^{\circ}\text{C}$ 'de 10-15 dakika bekletilerek oluşan lekeler saptanır.

#### 3.1.4.4. UV SPEKTRUMU KAYMA BELİRTEĞLERİ

Flavonoid bileşikler için kullanıldı.

##### Sodyum Metilat Belirteci:

2.5 gram temizlenmiş sodyum küçük parçacıklar halinde 100 ml'de saf metanolde çözülerek hazırlanır.

##### Aluminyum Klorür Belirteci:

5 gram susuz aluminyum (111) klorür 100 ml saf metanolde çözülerek hazırlanır.

##### Hidroklorik Asit Çözeltisi:

50 ml derişik HCl 100 ml distile suda çözülerek hazırlanır.

Sodyum Asetat Belirteci:

Toz halinde susuz saf sodyum asetat bir kröze'de eritilerek asetik asitten kurtarılıp kullanılır.

Borik Asit Belirteci:

Toz halinde susuz borik asit kullanılır.

## 3.2. UYGULANAN KİMYASAL REAKSİYONLAR

### 3.2.1. ASETİLLEME (54).

5-10 mg bileşik kuru bir erlen içinde 1 ml suz piridinde çözülüp üzerine 1 ml asetanhidrit ilave edilerek ağzı kapalı olarak oda ısısında 24 saat bekletildi, bu sürenin sonunda 15-20 ml distile suya dökülüp bir ayırma hunisinde kloroform ile tüketildi. Piridinden kurtarmak için birkaç kez su ile yikanarak kloroformu vakumda uçuruldu.

### 3.2.2. ASİT HİDROLİZ (55)

10 mg bileşik 5 ml etanolde çözülüp 10 ml %10'-luk HCl ile karıştırıldı, armut şeklindeki küçük bir balona konup geri çeviren soğutucu altında su banyosunda ısıtıldı. Reaksiyon tamamlandıktan sonra düşük basınçta etanol uçuruldu, kalan sulu karışımından uygun bir organik çözücü (etil asetat, eter gibi) ile aglikon ekstre edildi. Kalan sulu kısım asidinden kurtarılıp yoğunlaştırıldıktan sonra şeker arandı. Organik fazda ise bileşigin aglikonu saptandı.

Klatoğan Aylılık Kloroform kuru yoğunlaştırıldı ve  
300 gram ekstre - su karışımı, partisyonlu katalizatör  
yle 1 saat boyunca etil gergogine partisyonu uygulandı.

### 3.3. YAPILAN İŞLEMLER

#### 3.3.1. BİTKİNİN TÜKETİLMESİ

*Verbascum cheiranthifolium* bitkisi Haziran  
1984'de Bozöyük (Bilecik) çevresinden toplandı ve  
bitki Dr. Ertan Tuzlacı tarafından (ISTE 50900)  
teşhis edildi.

Çalışmada bitkinin toprak üstü kısımları  
(gövde, çiçek, yapraklar) kullanıldı. Maserasyon yön-  
temi ile çalışıldı. 5 kg yaş haldeki bitki etil alkol  
ile 1 hafta maserasyona bırakıldı. Tüketme sonunda  
bitki ekstresi süzülerek alındı. Ekstre düşük basınç-  
ta koyu şurup kıvamına kadar yoğunlaştırıldı.

#### 3.3.2. ALKOL EKSTRESİNİN İŞLENMESİ

Yoğunlaştırılan yaklaşık 300 gram alkol ekstre-  
sine önce kloroform - su partisyonu uygulandı. Sulu

kısından ayrılan kloroform kısmı yoğunlaştırıldı ve 3.45 gram ekstre elde edildi. Kloroform kısmından ayrılan sulu kısma etil asetat-su partisyonu uygulandı. Sulu kısımdan ayrılan etil asetat kısmı da yoğunlaştırıldı ve 4.9 gram ekstre elde edildi.

V. *cheiranthifolium* bitkisinin alkol ekstresinden elde edilen kloroform, etil asetat ve su kısımlarının herbirinin taşıdığı bileşikler hakkında ön fikir edinmek amacıyla selüloz ve silikajel plaklarda ince tabaka kromatografileri ve ayrıca kağıt kromatografileri yapıldı.

Kloroform ekstresi steroid bileşikler bakımından içlerinde en zengini olarak görüldüğünden steroid bileşikleri izole etmek amacıyla bu kısım ile çalışıldı.

Etil asetat ekstresi ise flavanoid bileşikler bakımından zengin görüldüğünden flavonoidal bileşikleri izole etmek amacıyla bu kısım ile çalışıldı.

Sulu kısım ile yapılan ince tabaka kromatografilerinde ise fazla birsey görülemediğinden bu kısım ile çalışmamamıştır.

### 3.3.3. EKSTRELERİN FRAKSİYONLANDIRILMASI VE BİLEŞİKLERİN İZOLASYONU

#### 3.3.3.1. KLOROFORM EKSTRESİ

3.45 gram kloroform ekstresi az miktarda kloroformda çözülüp aynı miktar silikajel ile karıştırıldı ve  $105^{\circ}$  C'lik etüvde kurutulduktan sonra paketleme yöntemi ile (3.5x60 cm) boyutlarındaki silikajel sütuna yerleştirildi. Elüsyona benzen ile başlanıp gittikçe artan miktarlarda kloroforma ve daha alkole geçirildi. 100'er ml olarak toplanan fraksiyonların benzer olanları ince tabaka kromatografisinde kontrol edildikten sonra birleştirildi. Bu ekstrenin (21-22).fraksiyonlarından V steroid bileşiği elde edildi.

Elde edilen bileşiği kirliliklerden kurtarmak için silikajel plaklar kullanarak preparatif ince tabaka yöntemi uygulandı.

#### 3.3.3.2. ETİL ASETAT EKSTRESİ

Alkol ekstresinden etil asetata çekilerek elde edilmiş ve yoğunlaştırılmış 1.5 gram ekstre Egger (kloroform - etanol (2:1) ) çözeltisi ile sisirilmiş (3x50 cm)

boyutlarındaki poliklar bir sütunun üzerine bir pipet yardımıyla konularak sütuna emdirildi, elüsyona polikların sıyırdığı sistem ile başlanıp gittikçe artan miktarlarda alkole ve son olarak suya geçildi.

Bu ekstreden elde edilen  $C_1$ ,  $C_2$ ,  $C_3$ ,  $C_4$  flavonoid bileşikleri sefadeks LH-20'den geçirilerek veya preparatif ince tabaka kromatografisi ile temizlendi.

—

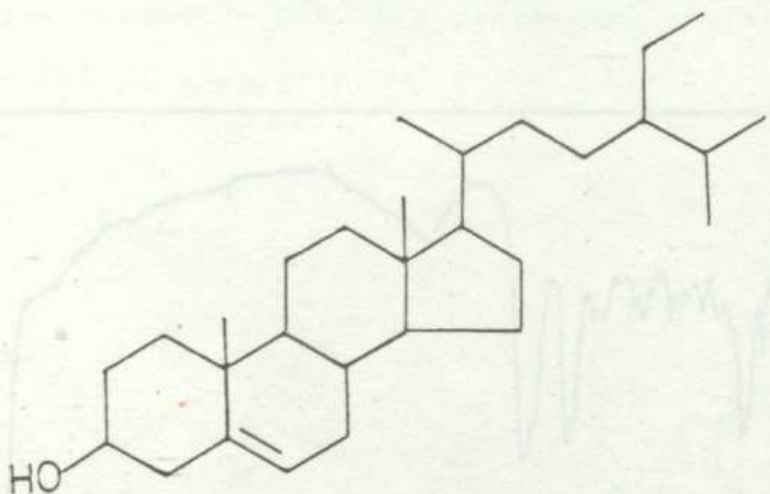
V. cheiranthifolium etil asetat ekstresinin poliklar sütunda  
fraksiyonlandırılmış

<u>Gözücü Sistemi</u>	<u>Fraksiyon</u>	<u>Elde Edilen Bileşik</u>
Kloroform-Etanol (2:1)	1-5	-
Kloroform-Etanol (6:4)	6-9	C <sub>1</sub> (Viteksin)
Kloroform-Etanol (1:1)	10-12	C <sub>1</sub> (Viteksin)
Kloroform-Etanol (1:4)	13-15	C <sub>3</sub> (Swertisin), C <sub>2</sub> (Apigenin)
Etanol	16-23	C <sub>2</sub> (Apigenin)
Etanol-Su (9:1)	24-30	-
Etanol-Su (8:2)	31-35	-
Etanol-Su (7:3)	36-40	-
Etanol-Su (1:1)	41-45	C <sub>4</sub> (Luteolin)
Su	46-50	-

Bileşigin enzimatik bir yapısının ökonomik  
gösterisidir.

### 3.4. Bu ÇALIŞMADA ELDE EDİLEN BİLEŞİKLER

#### 3.4.1. V BİLEŞİĞİ = $\beta$ -Sitosterol



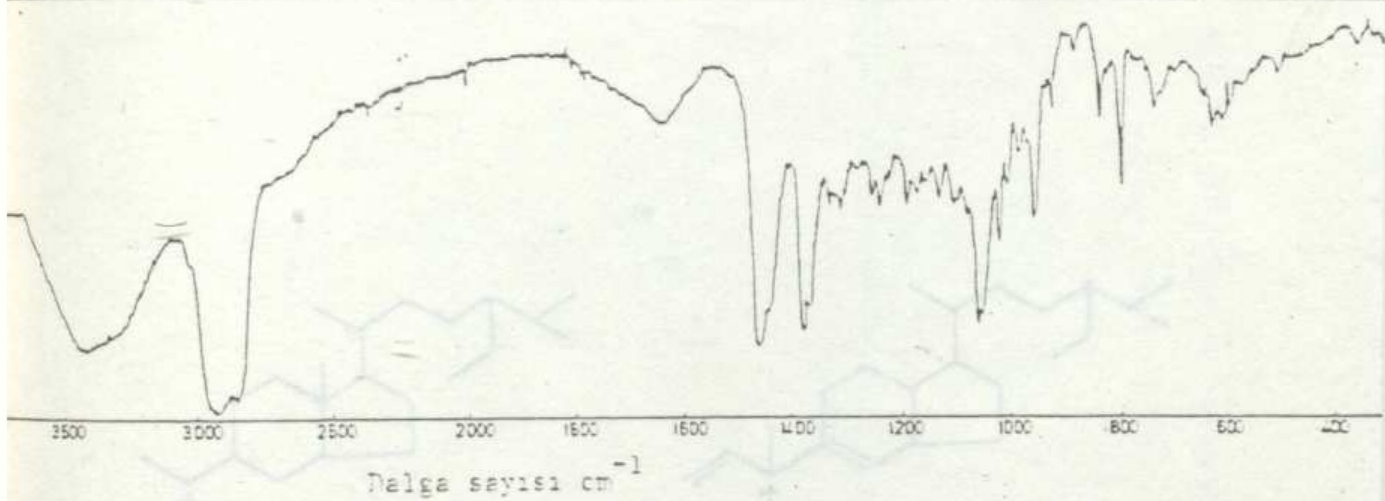
Liebermann-Burchard ile çok yavaş reaksiyon  
verip belirgin bir renklenmenin görülmemesi (13, S.469)  
ve kütle spektrumunda moleküller pikin 414'de çıkması

bileşigin steroidal bir yapıya sahip olabileceğini göstermiştir. 3.5 ppm'de hidroksile konu proton,

3.37 ppm'de vinilik proton pikleri bulunmaktadır.

#### Şekil 3 BİLEŞİĞİN SPEKTRAL ÖZELLİKLERİ

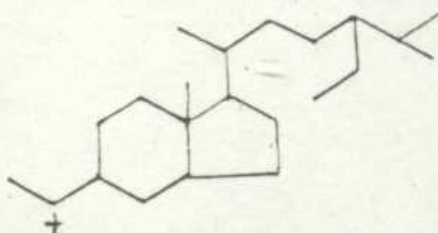
IR spektrumunda (Şekil 4)  $3400\text{ cm}^{-1}$  de ( $\text{OH}$ ),  $1650\text{ cm}^{-1}$  de (doymamışlık),  $1375\text{ cm}^{-1}$  de (gem dimetil),  $1060$ ,  $1050\text{ cm}^{-1}$  de ( $\text{C-O}$ ) bantları bulunmaktadır. Sincir pikini vermektedir. Ayrica şunca 4'lerdeki ipin karakteristik cis/trans geçişleri pikkelerini  $305\text{ cm}^{-1}$  ve  $315\text{ cm}^{-1}$  de vermektedir.



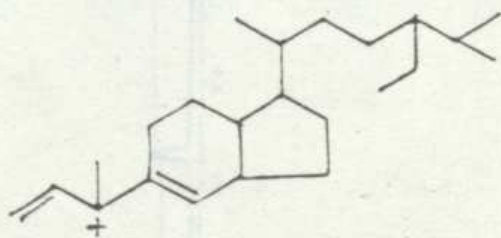
Şekil 4: V Bileşiği IR spektrumu

$^1\text{H}$  NMR spektrumunda 0.7-1.00 ppm arasında 6 metil piki, 3.5 ppm'de hidroksile komşu proton, 5.37 ppm de vinilik proton pikleri bulunmaktadır (Şekil 5).

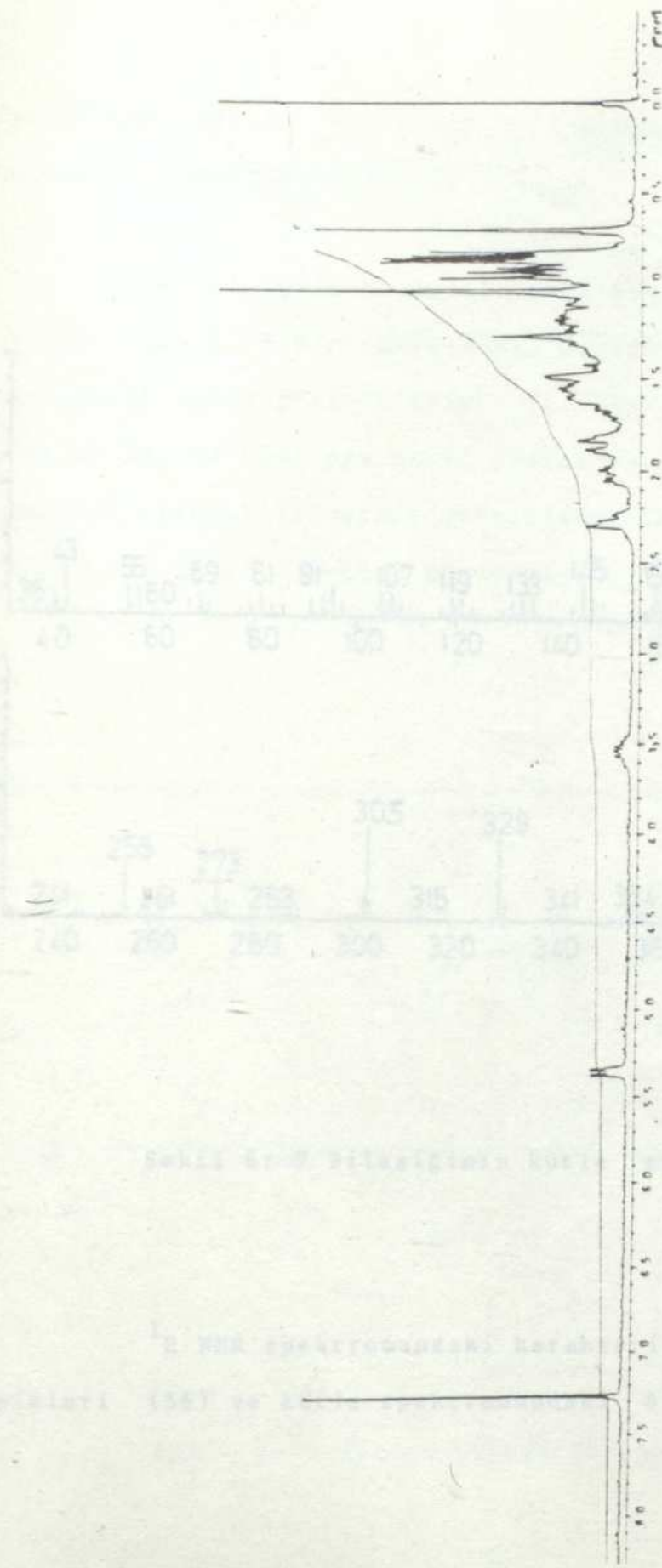
Bileşigin kütle spektrumu (Şekil 6) baz tepe 414 olarak moleküler piki vermektedir ve 399 da  $(M-\text{CH}_3)^+$ , 396 da  $(M-\text{H}_2\text{O})^+$ , 381 de  $(M-\text{CH}_3-\text{H}_2\text{O})^+$ , 273 de  $(M-\text{yan zincir})^+$  pikini vermektedir. Ayrıca yalnız  $\Delta^5$  steroller için karakteristik olan parçalanma piklerini 305 (a) ve 315 (b) de vermiştir.



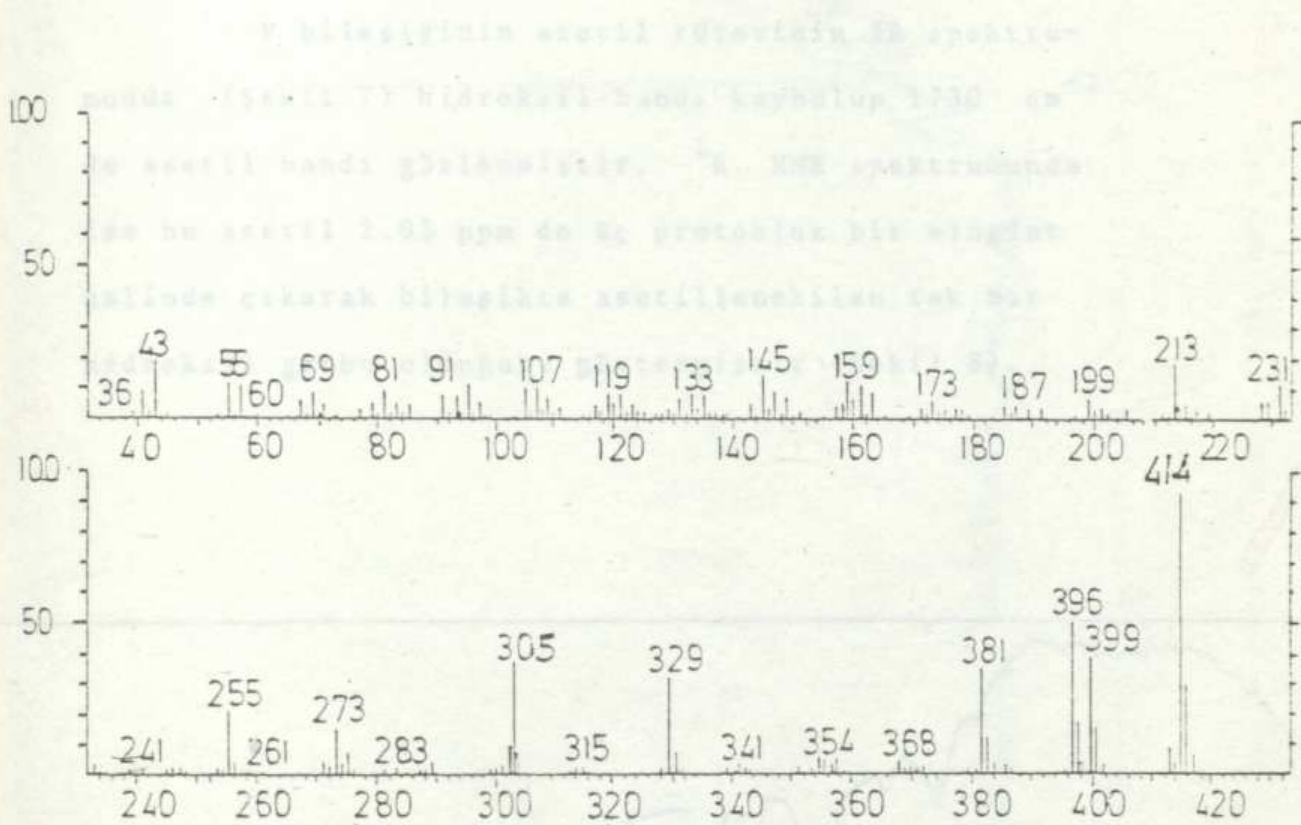
305 (a)



315 (b)



Sekil V: V Bilesigi  $^1\text{H}$  NMR Spektrumu

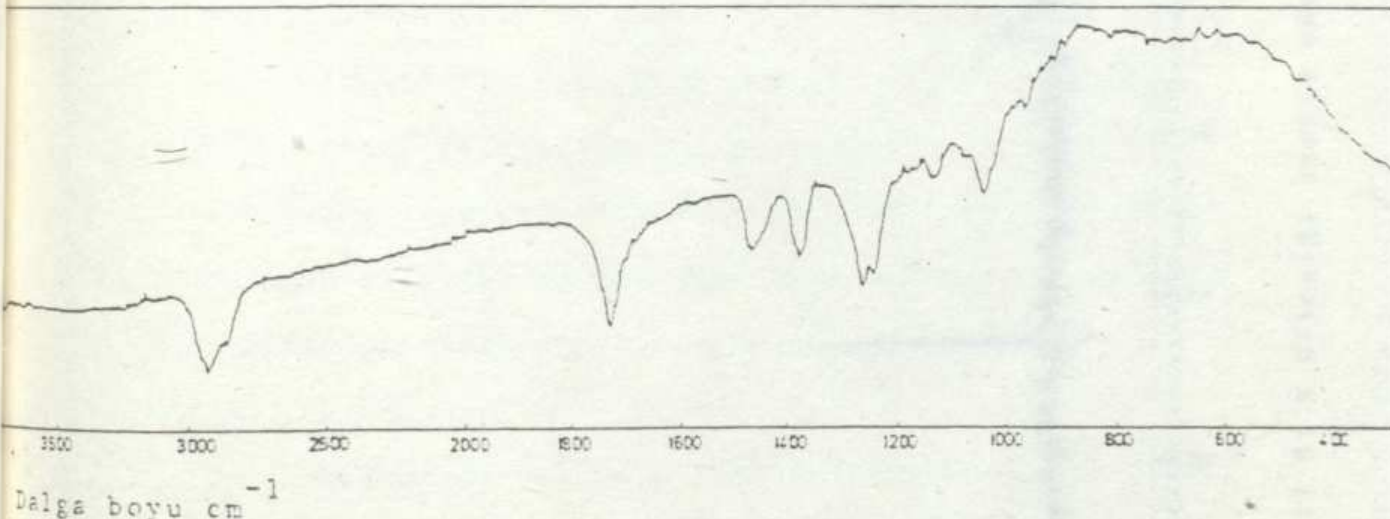


Şekil 6: V Bileşiginin kütle spektrumu

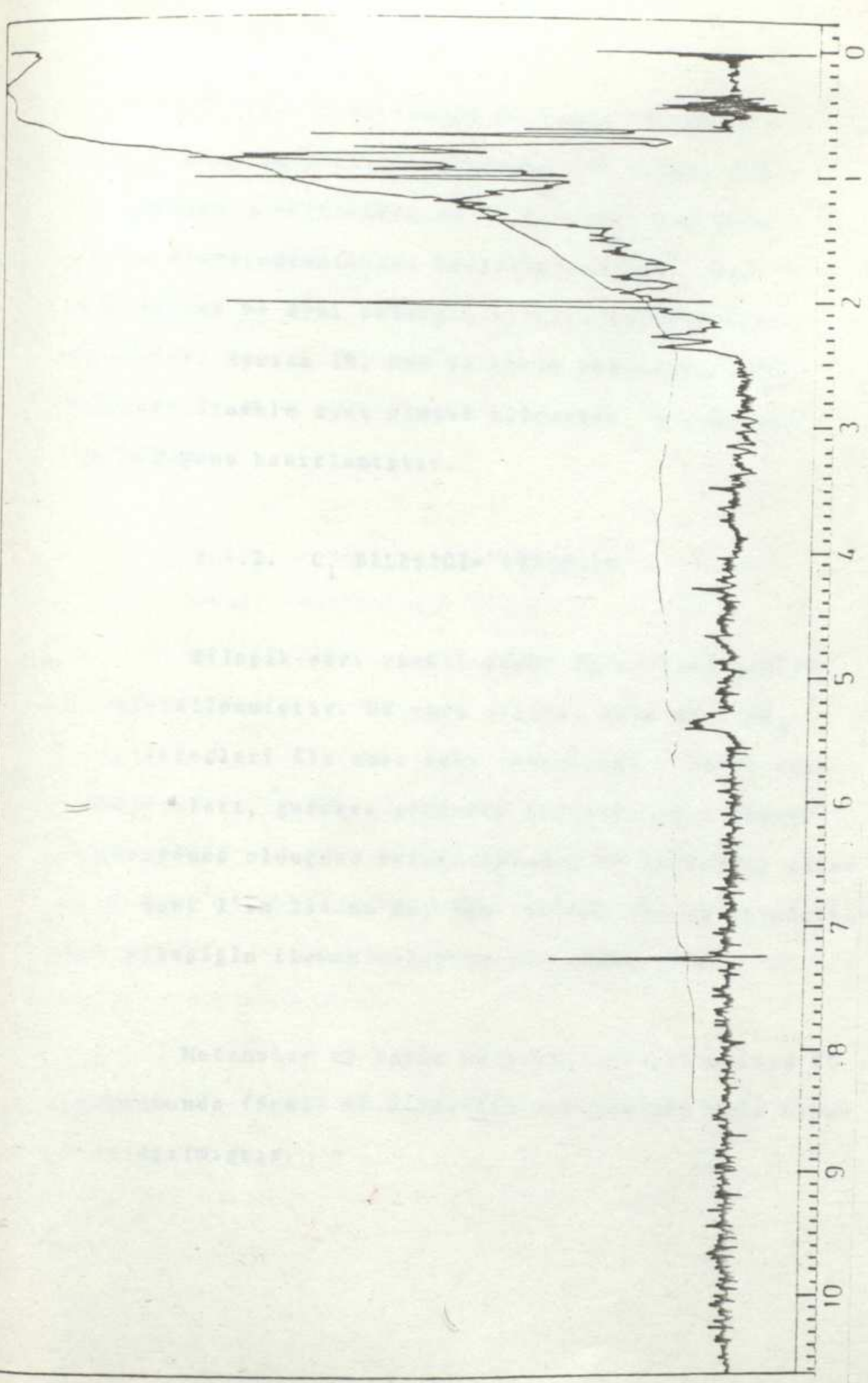
$^1\text{H}$  NMR spektromundaki karakteristik metil pikleri (56) ve kütle spektrumundaki  $\Delta^5$ 'e özgü

parçalanma pikleri bileşigin  $\Delta^5$  sterol yapısında olduğunu göstermektedir (57).

V bileşiginin asetil türevinin IR spektrumu  
munda (Şekil 7) hidroksil bandı kaybolup  $1730 \text{ cm}^{-1}$   
de asetil bandı gözlenmiştir.  $^1\text{H}$  NMR spektrumunda  
ise bu asetil  $2.05 \text{ ppm}$  de üç protonluk bir singlet  
halinde çıkarak bileşikte asetillenebilen tek bir  
hidroksil grubu olduğunu göstermiştir (Şekil 8).



Şekil 7: V Asetil türevi IR spektrumu



Sekil 8: Vübleşig'i acetil etrevi  $^1\text{H}$  NMR spektrumu

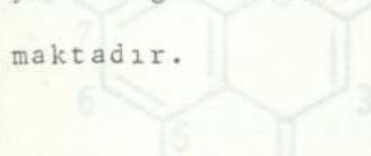
$\Delta^5$  sterol yapısında ve kapalı formülü  $C_{29}H_{50}O$  olan ve bitkiler aleminde çok yaygın olarak görülen  $\beta$ -sitosterolun V bileşigi ile ince tabaka kromatografisinde karşılaştırılması aynı Rf değerini ve aynı belirgin kırmızı-turuncu rengi vermiştir. Ayrıca IR, NMR ve kütle bulgularının da standart örnekle aynı olması bileşigin  $\beta$ -sitosterol olduğunu kanitlamıştır.

#### 3.4.2. $C_1$ BİLEŞİĞİ= VİTEKSİN

Bileşik sarı renkli küçük iğnecikler şeklinde kristallenmiştir. UV ışık altında koyu mor,  $NH_3$  ve NA belirteğleri ile sarı renk vermektedir. Gerek renk reaksiyonları, gerekse görünüşü bileşigin bir flavon karakterinde olduğunu belirttiğinden UV spektrumu alındı ve Bant I'ın 334 nm de, Bant II'nin 270 nm de gözlenmesi bileşigin flavon olduğunu göstermektedir.

Metanolde ve kayma belirteğleri ile alınan UV spektrumunda (Şekil 9) bileşigin 8 konumunun dolu olduğu anlaşılmıştır.

NaOMe spektrumunda Bant I'in 56 nm uzun dalga boyuna kayması ve şiddetinin artması 4'-OH'ın açık olduğunu belirtmektedir. Yine NaOMe spektrumunda 334 nm'de Bant III'ün bulunması da 7-OH'in serbest halde olduğunu göstermektedir. Ayrıca NaOAc spektrumunda Bant II'nin MeOH spektrumuna göre uzun dalga boyuna doğru 10 nm kayması 7-OH'in açık olduğunu doğrulamaktadır.

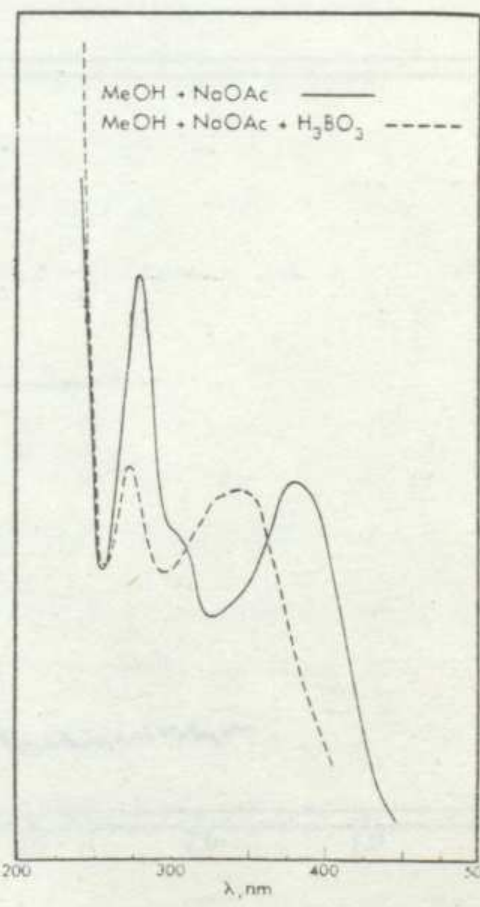
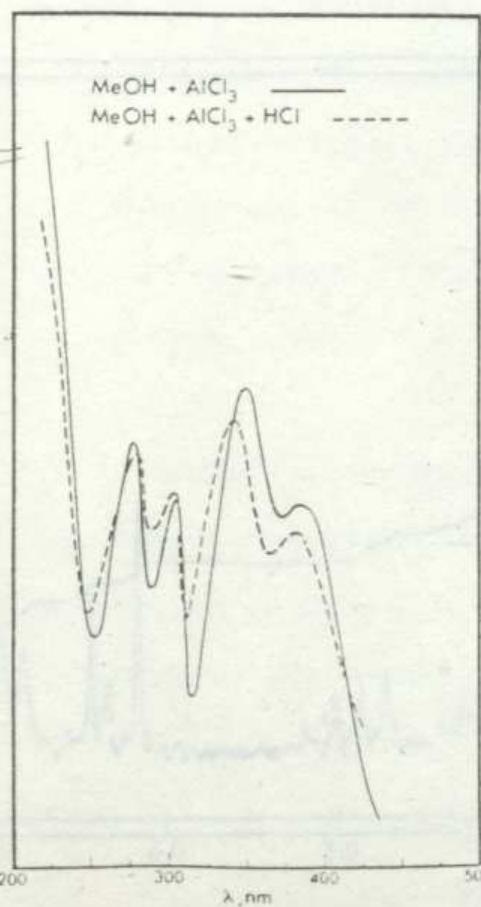
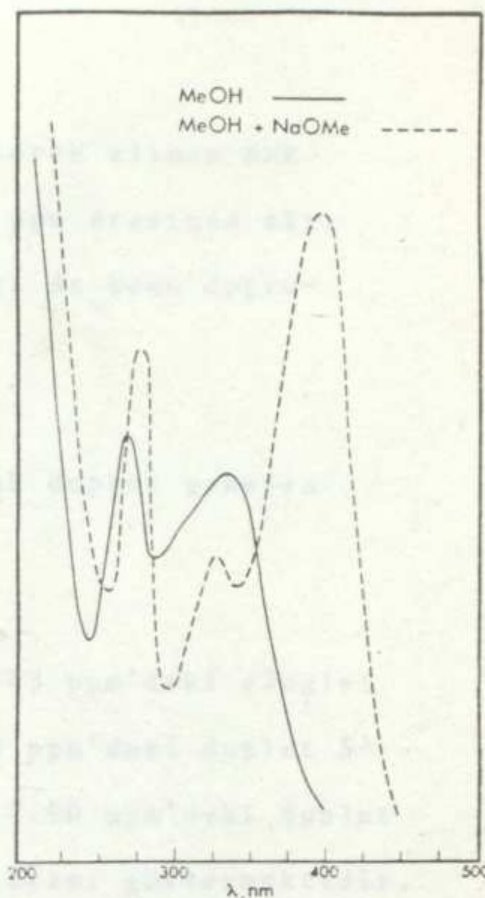
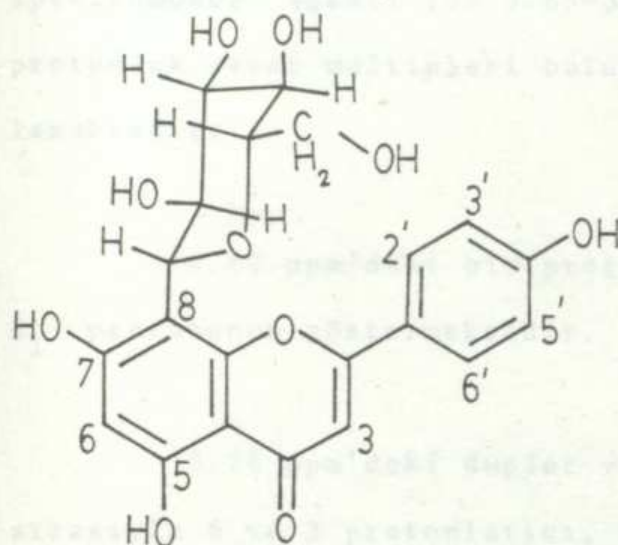


$\text{AlCl}_3$  spektrumunda Bant I'in 53 nm uzun dalga boyuna kayması 5-OH'in açık olduğunu ve  $\text{AlCl}_3/\text{HCl}$  bantında değişiklik olmayışı 6 konumunda sübstituent bulunmadığını gösterir.

—  $\text{NaOAc}/\text{H}_3\text{BO}_3$  spektrumunda Bant I'in uzun dalga boyuna doğru belirgin bir kayma göstermeyisi o-dihidroksi durumunun mevcut olmadığını belirtmektedir.  $\text{AlCl}_3$  ve HCl spektrumlarının da aynı oluşu o-dihidroksi durumunun olmadığını doğrulamaktadır.

Uygulanan asit hidrolizden sonra bileşigin bir şeker taşıdığı anlaşılmış ve bu şekerin standart örneklerle kıyaslanmasıyla glukoz olduğu saptanmıştır.

## VİTEKSİN

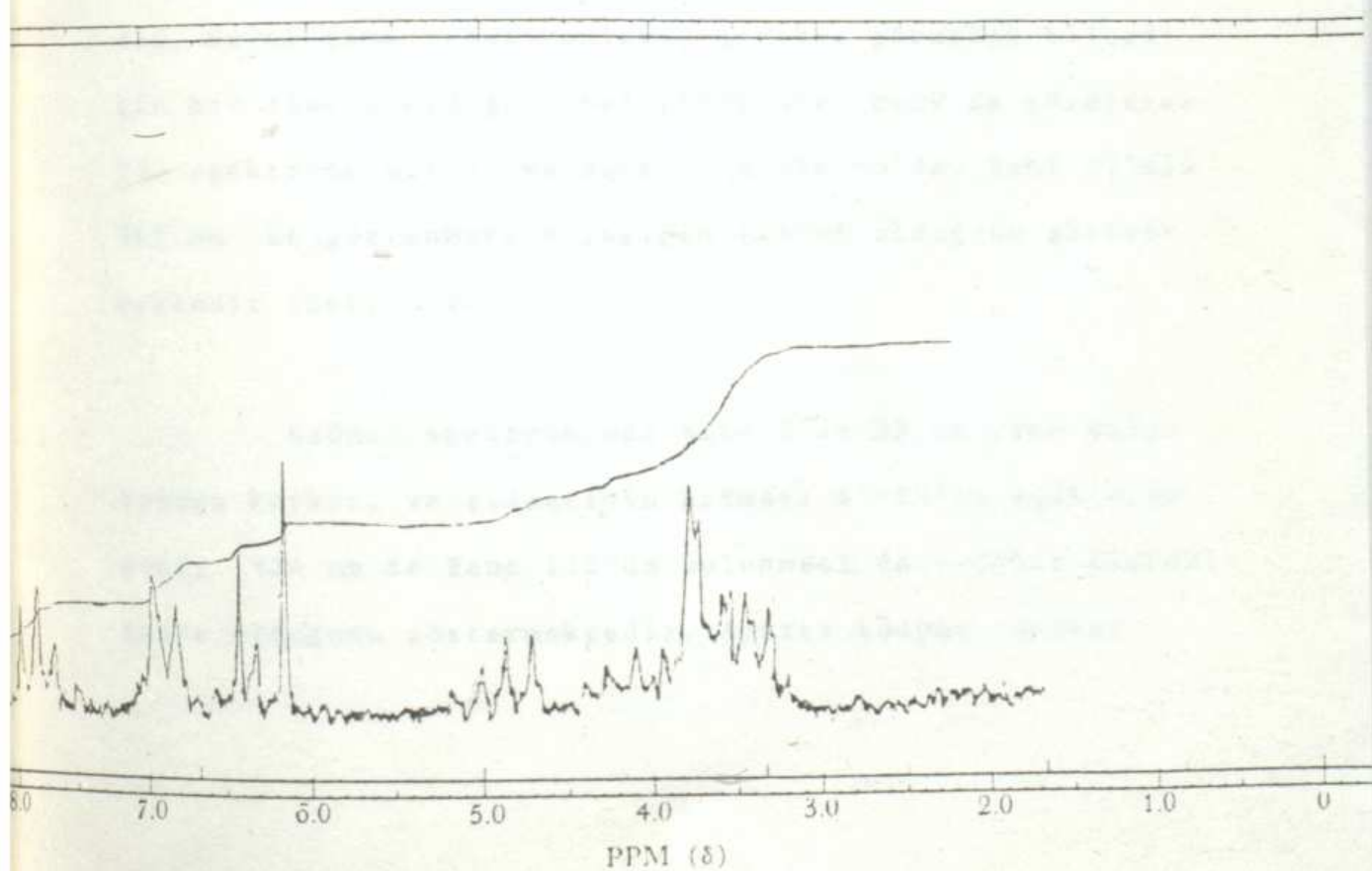


Şekil 9: C<sub>1</sub> Bileşigi UV spektrumu

TMS türevi haline getirilerek alınan NMR spektrumunda (Şekil 10) 3.65-3.85 ppm arasında altı protonluk şeker multipleti bulunması da bunu doğrulamaktadır.

4.80 ppm'deki bir protonluk duplet şekerin  $H_1$  protonunun göstermektedir.

6.18 ppm'deki duplet ve 6.43 ppm'deki singlet sırasıyla 6 ve 3 protonlarını, 6.90 ppm'deki duplet 5' ve 3' protonlarını belirtmektedir. 7.90 ppm'deki duplet ise B halkasındaki 6' ve 2' protonlarını göstermektedir.



Şekil 10: C<sub>1</sub> Bileşiği <sup>1</sup> NMR spektrumu

Viteksin standart örneği ile kromatografik karşılaştırmaların ve spektral bulgularının aynı olusu  $C_1$  bileşiginin Viteksin olduğunu kanıtlamaktadır.

Bu çalışmada 40 mg  $C_1$  maddesi elde edilmişdir.

### 3.4.3. $C_2$ BİLEŞİĞİ= APİGENİN

Bilezik koyu sarı renkli küçük kristal iğnecikleri görünümünde olup e.n 348-349° dir. UV ışık altında koyu mor,  $NH_3$  ve NA belirteçleri ile sarı renk vermektedir. Gerek renk reaksiyonları, gerekse görünüşü bileşinin bir flavon olduğunu belirttiğinden MeOH de çözülerek UV spektrumu alındı ve Bant I'in 334 nm'de, Bant II'nin 267 nm de gözlenmesi bileşigin flavon olduğunu göstermektedir (Şekil 11).

NaOMe spektrumunda Bant I'in 55 nm uzun dalga boyuna kayması ve şiddetinin artması 4'-OH'ın açık olduğunu, 324 nm de Bant III'ün bulunması da 7-OH'ın serbest halde olduğunu göstermektedir. Ayrıca sodyum asetat

spektrumunda Bant II'nin MeOH spektrumuna göre uzun dalga boyuna doğru 10 nm kayması 7-OH'in açık olduğunu doğrulamaktadır.

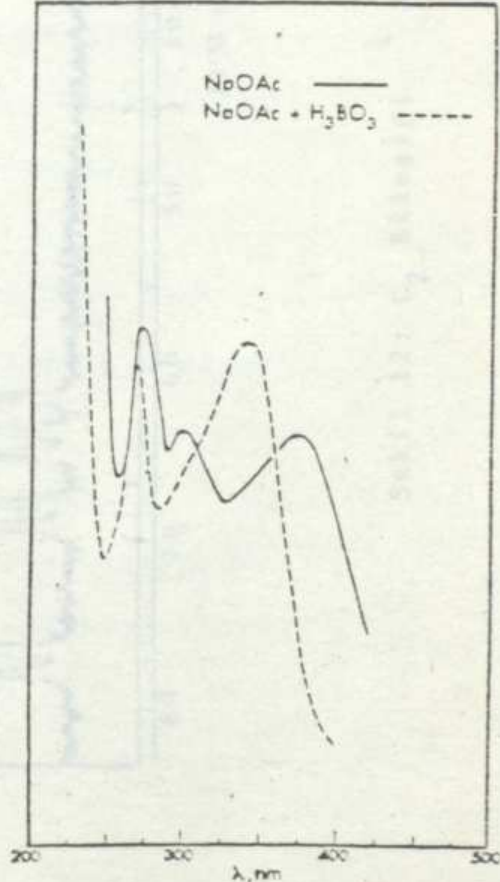
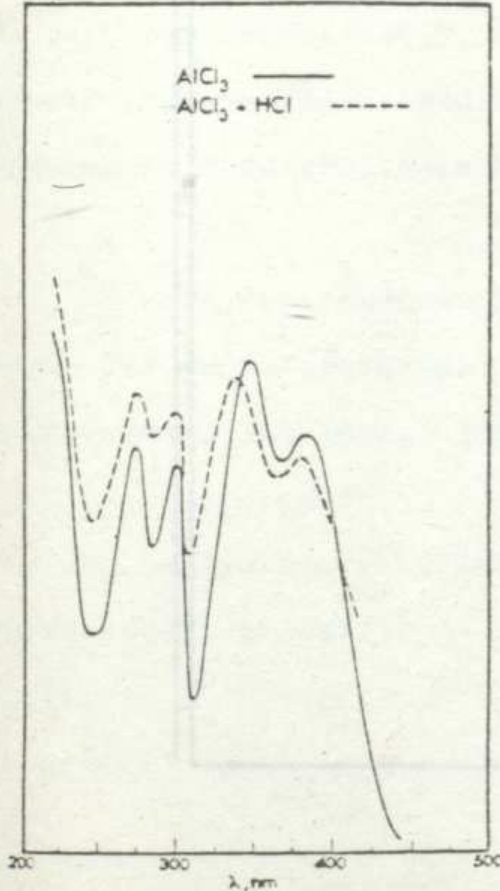
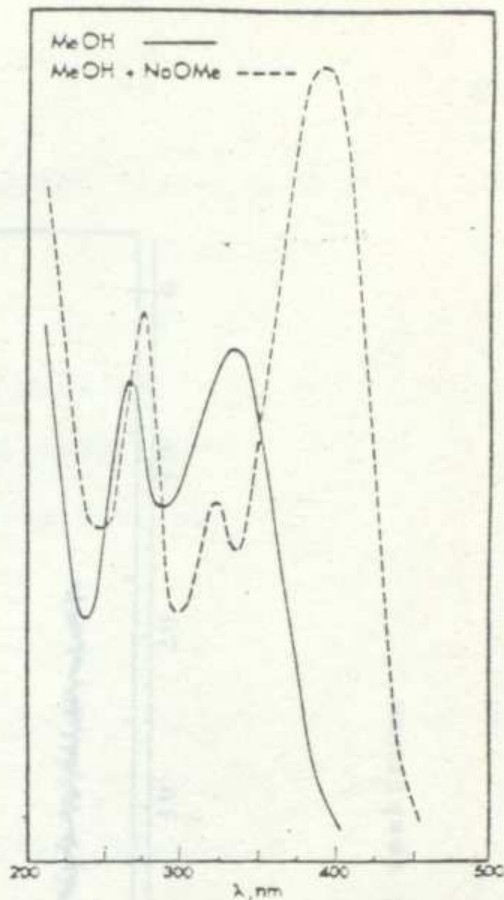
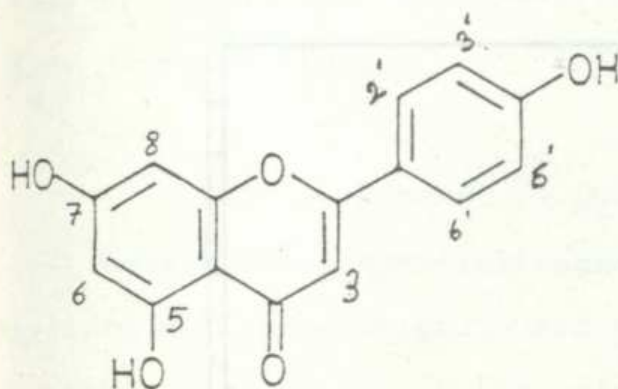
$\text{AlCl}_3$  spektrumunda Bant I'in uzun dalga boyuna 50 nm kayması 5-OH'in açık olduğunu ve  $\text{AlCl}_3/\text{HCl}$  bantındaki değişiklik olmayışı 6 konumunda sübstitüent bulunmadığını gösterir.

$\text{NaOAc}/\text{H}_3\text{BO}_3$  spektrumunda Bant I'in uzun dalga boyuna doğru belirgin bir kayma göstermeyisi o-dihidroksi durumunun mevcut olmadığını belirtmektedir.  $\text{AlCl}_3$  ve HCl spektrumlarının da aynı oluşu o-dihidroksi durumunun olmadığını doğrulamaktadır.

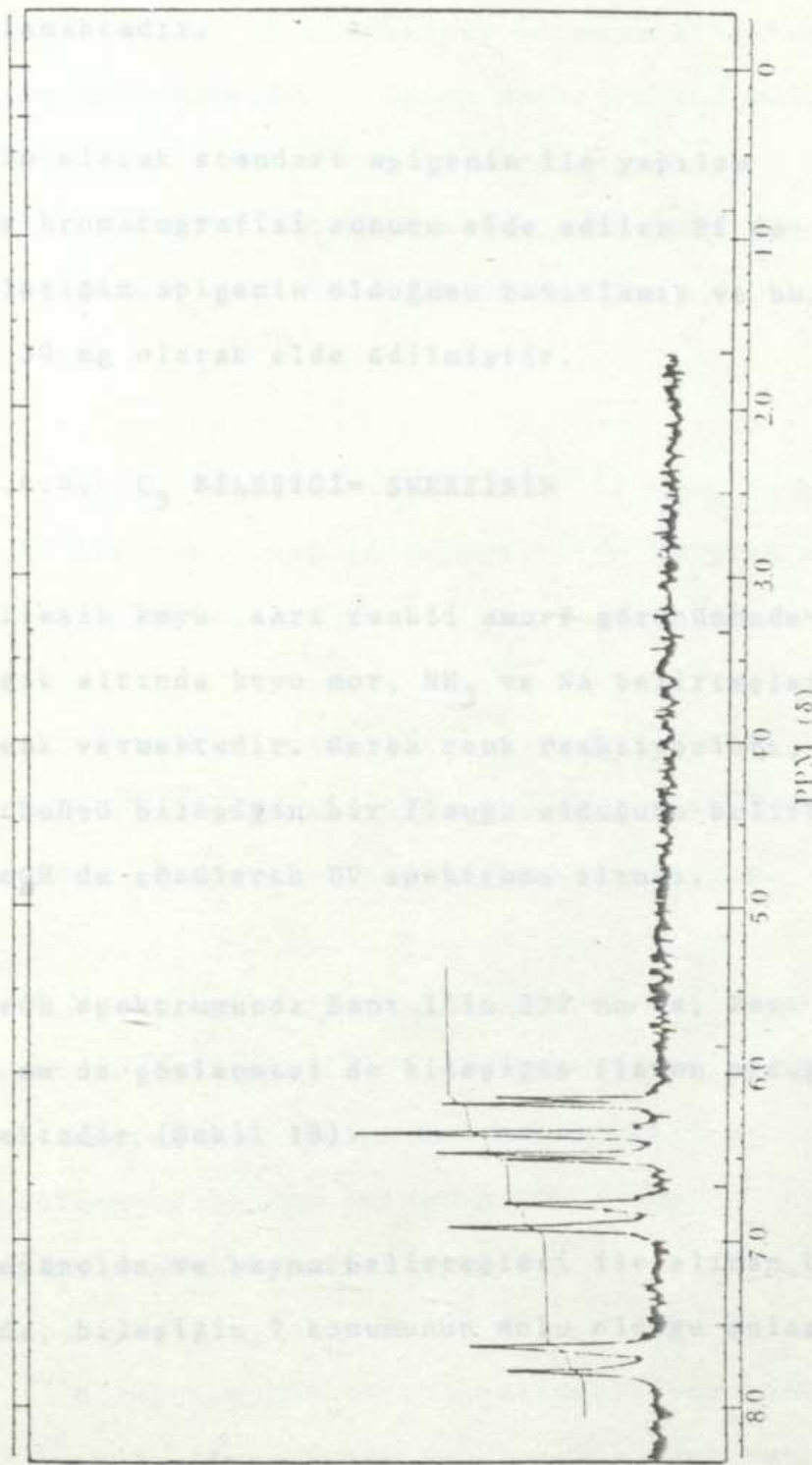
UV spektrumu bilesig'in apigenin tipi olduğunu belirtmektedir.

TMS türevi haline getirilerek alınan NMR spektrumunda (Şekil 12). 7.72 ppm deki duplet B halkasındaki 6' ve 2' protonlarını, 6.85 ppm'deki duplet, 5' ve 3' protonlarını belirtmektedir. 6.50 ve 6.35 ppm'deki dupletler ise A halkasındaki 8 ve 6 protonlarını göstermektedir. A halkasındaki 3 protonu ise 6.27 ppm de

APİGENİN



Sekil 11: C<sub>2</sub> Bileşigi UV spektrumu



Sekil 12:  $\text{C}_2$  Bilesigi  $^1\text{H}$  NMR spektrumu

singlet olarak bulunması bu bileşliğin apigenin olduğunu doğrulamaktadır.

Son olarak standart apigenin ile yapılan ince tabaka kromatografisi sonucu elde edilen Rf değerleri bileşliğin apigenin olduğunu kanıtlamış ve bu bilesik 30 mg olarak elde edilmiştir.

#### 3.4.4. $\text{C}_3$ BİLEŞİĞİ = SWERTİSİN

Bilesik koyu sarı renkli amorf görünümündedir. UV ışık altında koyu mor,  $\text{NH}_3$  ve NA belirteğleri ile sarı renk vermektedir. Gerek renk reaksiyonları, gerekse görünüşü bileşliğin bir flavon olduğunu belirttiğinden MeOH de çözülerek UV spektrumu alındı.

MeOH spektrumunda Bant I'in 332 nm de, Bant II'nin 273 nm de gözlenmesi de bileşliğin flavon olduğunu göstermektedir (Şekil 13).

Metanolde ve kayma belirteğleri ile alınan UV spektrumunda, bileşliğin 7 konumunun dolu olduğu anlaşılır.

NaOMe spektrumunda Bant I'in 52 nm uzun dalga boyuna kayması ve şiddetinin artması 4'-OH'in açık olduğunu belirtmektedir. NaOMe spektrumunda Bant III'ün bulunmaması 7-OH'ın kapalı durumda olduğunu belirler. Ayrıca sodyum asetat spektrumunda Bant II'nin kayma göstermemesi de 7-OH'in dolu olduğunu doğrulamaktadır.

$\text{AlCl}_3$  spektrumunda Bant I'in uzun dalga boyuna 48 nm'lik bir kayma göstermesi 5-OH'in açık olduğunu belirtmektedir.

$\text{AlCl}_3/\text{HCl}$  spektrumunun Bant I'i MeOH spektrumun Bant I'ine nazaran 46 nm'lik bir kayma göstermesi konumunun kapalı durumda olduğunu belirler.

$\text{NaOAc}/\text{H}_3\text{BO}_3$  spektrumunda Bant I'in metanol spektrumunun Bant I'i ile aynı oluşu bileşikte o-dihidroksi durumunun olmadığını belirtmektedir.  $\text{AlCl}_3$  ve  $\text{HCl}$  spektrumlarının da aynı oluşu o-dihidroksi durumunun olmadığını doğrulamaktadır.

Bileşigin TMS türevi halinde alınan NMR spektrumunda (Şekil 14) 4.78 ppm de bir protonluk duplet  $\text{C}_6$ 'dan

## SWERTISIN

MeOH  
MeOH+NaOMe

bağlı bir şeker molekülünün  $H_1$  protonu için karakteristiktedir. Şeker molekülünün diğer protonları 3.37-4.24 ppm arasında multiplet halinde gözlenmektedir.

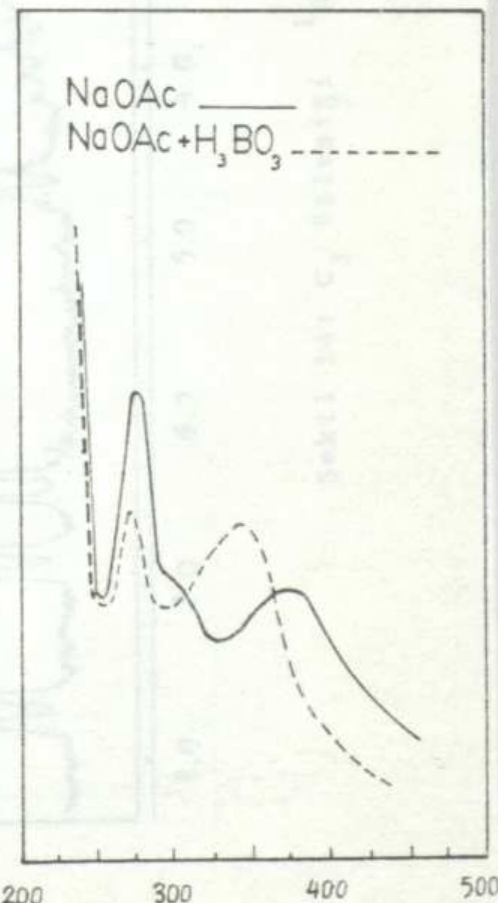
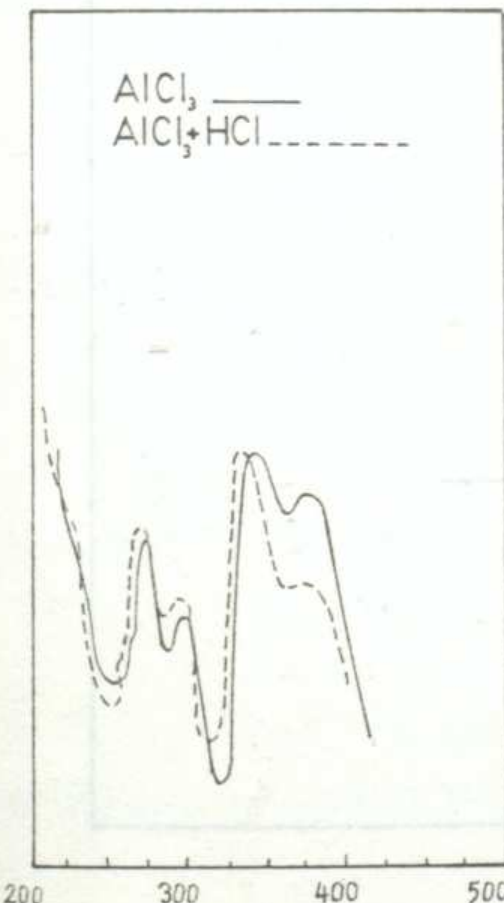
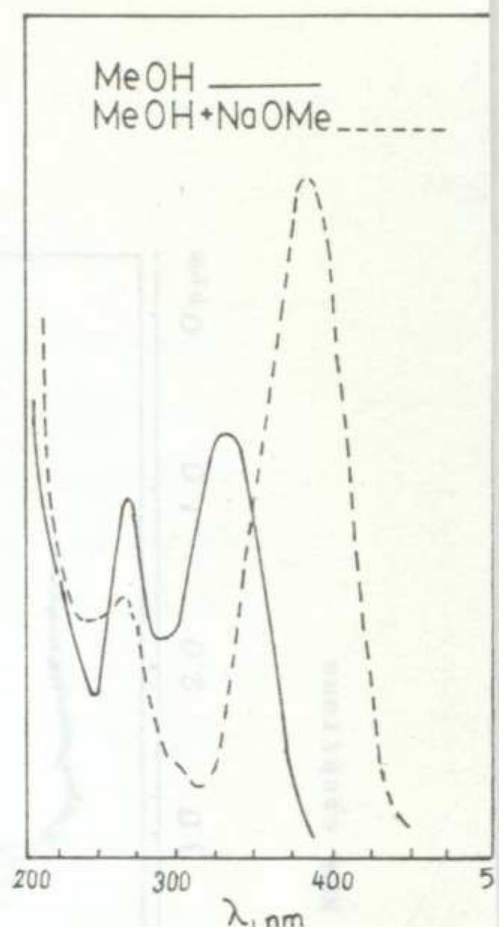
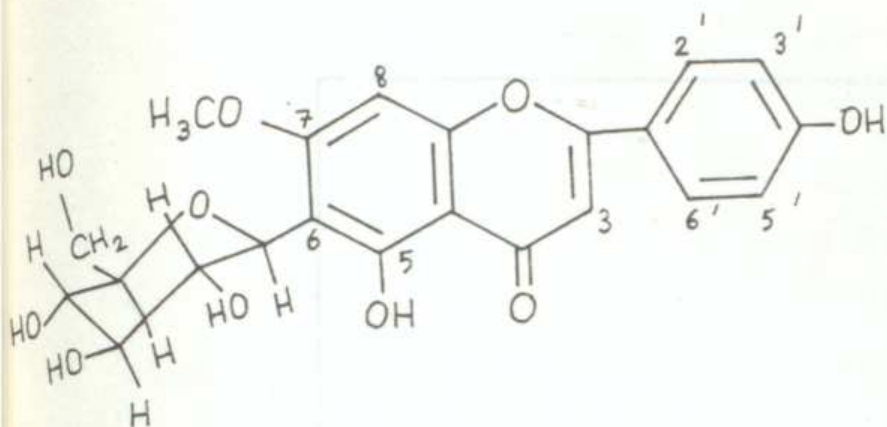
3.90 ppm'deki singlet  $C_7$ 'den bağlı metoksi grubunun üç protonunu göstermektedir.

6.34 ppm ve 6.50 ppm'deki singletler sırasıyla  $C_3$  ve  $C_8$  protonlarını, 6.85 ppm'deki duplet B halkasına bağlı  $C_3$ , ve  $C_5$ , protonlarının, 7.74 ppm'deki duplet ise yine B halkasına bağlı  $C_2$ , ve  $C_6$ , protonlarını birtmektedir.

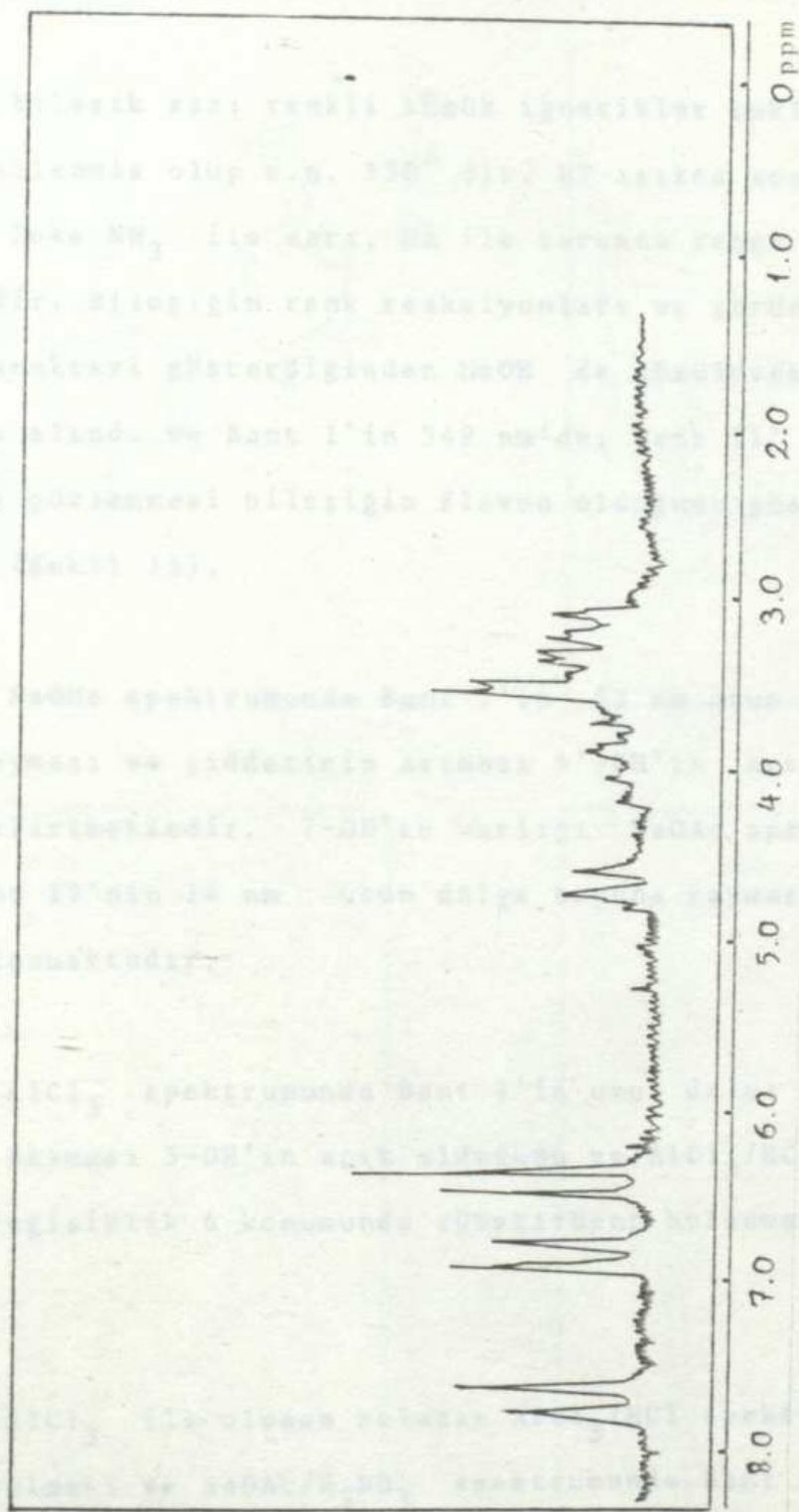
$C_3$  bileşiginin aglikon ve şeker kısımlarını birbirinden ayırmak için asit hidroliz yapılmış ve şekerin standart örneklerle karşılaştırılmasıyla glukoz olduğu bulunmuştur.

Standart örnek ile kromatografik karşılaştırmanın ve spektral bulguların aynı oluşu  $C_3$  bileşiginin Swertisin olduğu saptanmıştır. Bu madde ancak 10 mg olarak izole edilememiştir.

## SWERTİSİN



Şekil 13: C<sub>3</sub> Bileşigi UV spektrumu



Sekil 14:  $\text{C}_3$  Bileşigi  ${}^1\text{H}$  NMR spektrumu

### 3.4.5. C<sub>4</sub> BİLEŞİĞİ = LUTEOLİN

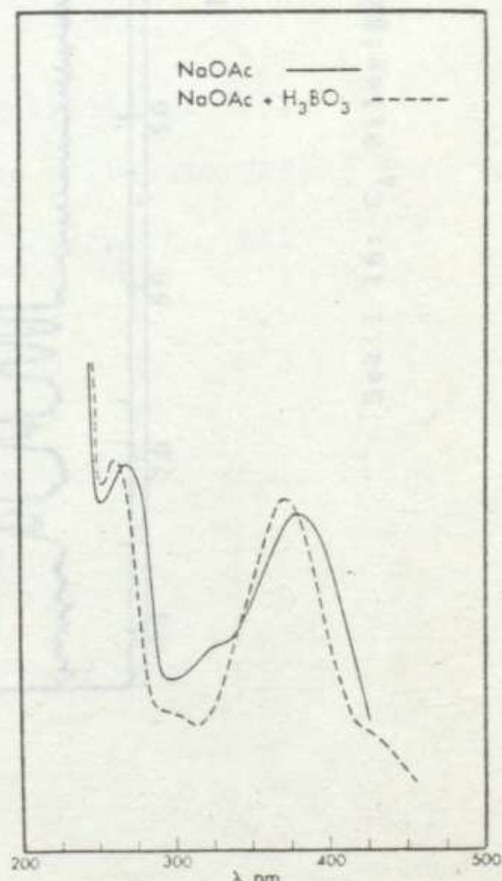
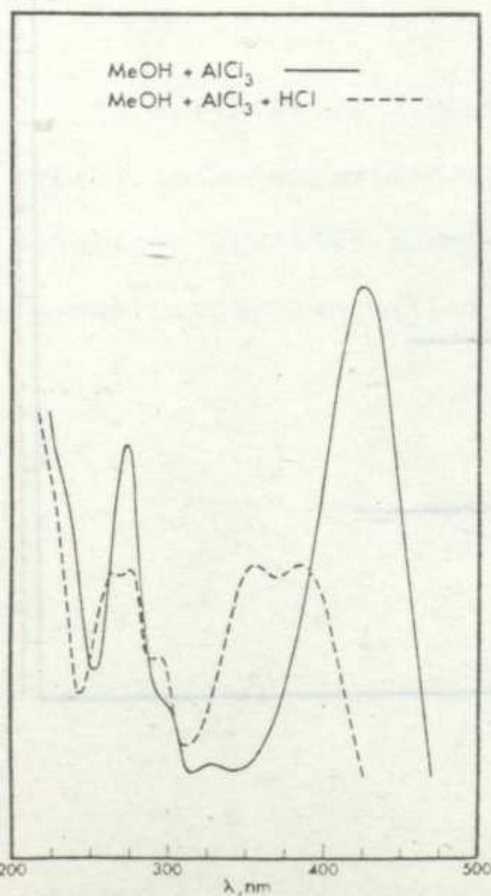
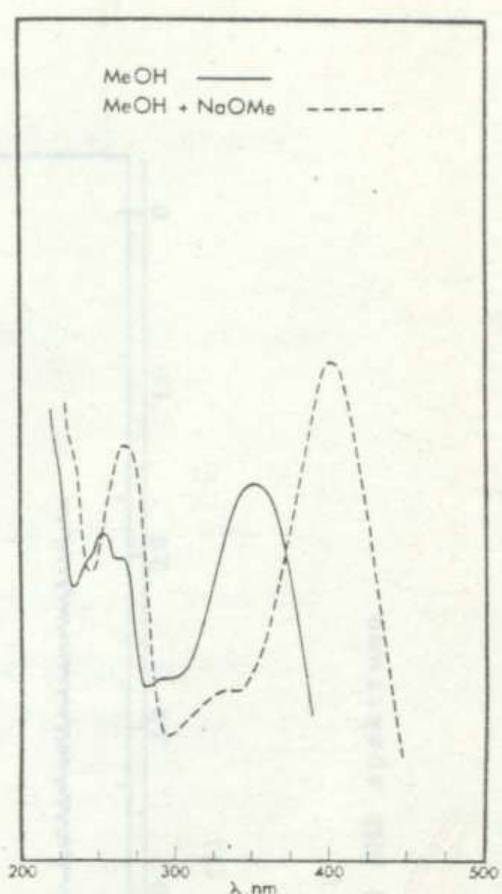
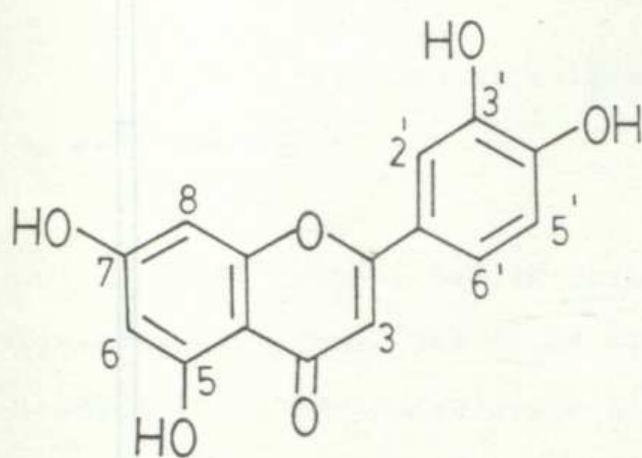
Bileşik sarı renkli küçük iğnecikler şeklinde kristallenmiş olup e.n. 330° dir. UV ışıkta koyu mor olan leke NH<sub>3</sub> ile sarı, NA ile turuncu renge dönüştürmektedir. Bileşığın renk reaksiyonları ve görünüşü flavon karakteri gösterdiğinden MeOH de çözülerek UV spektrumu alındı ve Bant I'in 349 nm'de, Bant II' nin 267 nm'de gözlenmesi bileşığın flavon olduğunu göstermektedir (Şekil 15).

NaOMe spektrumunda Bant I'in 53 nm uzun dalga boyuna kayması ve şiddetinin artması 4'-OH'ın açık olduğunu belirtmektedir. 7-OH'ın varlığı NaOAc spektrumunda Bant II'nin 14 nm uzun dalga boyuna kayması ile de doğrulanmaktadır.

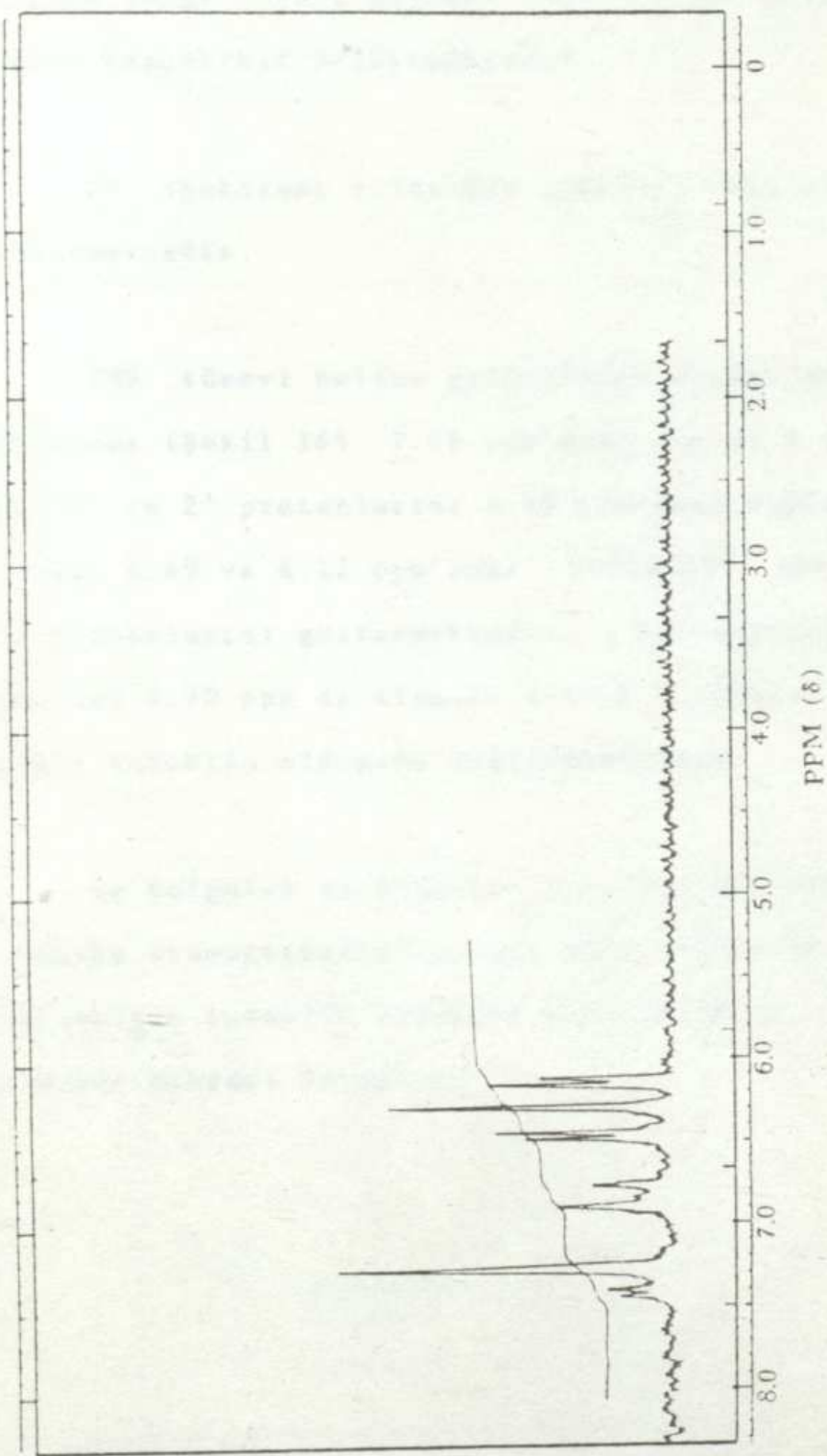
AlCl<sub>3</sub> spektrumunda Bant I'in uzun dalga boyuna 76 nm kayması 5-OH'ın açık olduğunu ve AlCl<sub>3</sub>/HCl bantındaki değişiklik 6 konumunda sübstituent bulunmadığını gösterir.

AlCl<sub>3</sub> ile oluşan kelatin AlCl<sub>3</sub>/HCl spektrumunda bozulması ve NaOAc/H<sub>3</sub>BO<sub>3</sub> spektrumunda Bant I'in

## LUTEOLİN



Sekil 15: C. Bilesiği UV spektrumu



Sekil 16:  $\text{C}_4$  Bileşigi  $^1\text{H}$  NMR spektrumu

21 nm uzun dalga boyuna kayması o-dihidroksi durumun varlığını kesinlikle belirtmektedir.

UV spektrumu bileşigin luteolin tipi olduğu-  
nu belirtmektedir.

TMS türevi haline getirilerek alınan NMR  
spektrumunda (Şekil 16) 7.28 ppm'deki duplet B halka-  
sındaki 6' ve 2' protonlarını 6.85 ppm'deki duplet 5'  
protonunu, 6.49 ve 6.12 ppm'deki dupletler ise  
8 ve 6 protonlarını göstermektedir. A halkasındaki 3  
protonu ise 6.30 ppm de singlet olarak bulunması bu  
bileşigin luteolin olduğunu doğrulamaktadır.

Bu bulgular ve standart luteolin ile yapılan  
ince tabaka kromotografisi sonucu elde edilen Rf değer-  
leri bileşigin luteolin olduğunu kanitlamıştır. Ele  
geçen madde miktarı 16 mg'dır.

Tablo 3: V bileşığının IR spektrum değerleri

### 3.5. ELDE EDİLEN BİLEŞİKLERİN SPEKTRUM DEĞERLERİ

Avantajlı Uygulamalar

Tablo 3: V bileşığının IR spektrum değerleri

Bileşik Adı	$\nu_{\text{KB}}^{\text{r}}$ (cm <sup>-1</sup> )	Fonksiyonel Grup
V $\beta$ -Sito- sterol	3400	OH
	1650	doymamışlık
	1375	gem dimetil
	1060 ve 1050	C - O gerilim

Tablo 4: V bileşığının <sup>1</sup>H NMR spektrum değerleri

Bileşik Adı	$\delta$ (ppm)
V $\beta$ -Sito- sterol	3 H (metil) 0.70 s
	3 H " 0.80 s
	3 H " 0.84 d
	3 H " 0.86 d
	3 H " 0.94 d
	3 H " 1.00 d
	1 H (hidroksile kömşü) 3.50 t
	1 H (vinilik) 5.37 d

Tablo 5: V bileşiginin Mass spektrum değerleri

V $\beta$ -Sito- sterol	Parçalanma Ürünleri	m/e	%
	$M^+$	414	100
	$(M-CH_3)^+$	399	40
	$(M-H_2O)^+$	396	51
	$(M-CH_3-H_2O)^+$	381	36
	-	329	32
	-	315	3
	-	305	38
	$(M-\text{yan zincir})^+$	273	16
	-	255	21
	-	231	12

Tablo 6: V bileşigi asetil türevinin IR spektrum  
değerleri

V-asetil	$\nu_{\text{max}}$ KBr ( $\text{cm}^{-1}$ )	Fonksiyonel Grup
	1730 ve 1260	$\text{CH}_3-\text{COO}$
	1460	$\text{CH}_2$ eğilim
	1375	gem dimetil
	1045	C-O gerilim

Tablo 7: V bileşigi asetil türevinin  
 $^1\text{H}$  NMR spektrum değerleri

V-asetil	$\delta$ (ppm)	
	İsim / Bilgi	Değer
	3 H (metil)	0.70 s
	3 H "	0.82 s
	3 H "	0.84 s
	3 H "	0.90 s
	3 H "	1.02 s
	3 H "	1.10 s
	3 H (asetil)	2.05 s
	1 H (hidroksile komşu)	3.75 m
	1 H (vinilik)	5.45 t

Tablo 8:  $C_1$  bilesiginin metanolde ve diğer kayma belirtecleri ile alınan UV spektrum değerleri

	MeOH (nm)	NaOMe (nm)	$AlCl_3$ (nm)	$AlCl_3/HCl$ (nm)	NaOAc (nm)	$NaOAc/H_3BO_3$ (nm)
Viteksin	334	390	387	385	370 (omuz)	340
$C_1$	310 (omuz)	334	350	343	301	319 (omuz)
	270	279	300	299	280	272
			277	278		

Tablo 9:  $C_1$  bileşiginin  $^1H$  NMR spektrum  
değerleri

Viteksin $C_1$	$\delta$ (ppm)	
	H-3	6.43 s.
	H-6	6.18 d
	H-3', H-5'	6.90 d
	H-2', H-6'	7.90 d
	$C_8$ -R, H-1"	4.80 d
	$C_8$ -R, H-2"-6"	3.65-3.85 m

Tablo 10:  $C_2$  bileşiginin metanolde ve diğer kayma  
belirteçleriyle alınan UV spektrum değerleri.

	MeOH (nm)	NaOMe (nm)	AlCl <sub>3</sub> (nm)	AlCl <sub>3</sub> /HCl (nm)	NaOAc (nm)	NaOAc/H <sub>3</sub> BO <sub>3</sub> (nm)
Apigenin $C_2$	334	389	384	383	374	336
	302	324	347	340	301	302 (omuz)
	267	275	301	300	275	268
			275	275		

Tablo 11:  $C_2$  bileşiginin  $^1H$  NMR spektrum  
değerleri

Apigenin $C_2$	Alfa/ $\beta$ (ppm)	δ (ppm)	
		H-3	6.27 s
		H-8	6.35 d
		H-3', H-5'	6.85 d
		H-2', H-6'	7.72 d
		H-6	6.50 d

Tablo 12:  $C_3$  bileşiginin metanolde ve diğer kayma  
belirteçleriyle alınan UV spektrum değerleri

	MeOH (nm)	NaOMe (nm)	$\text{AlCl}_3$ (nm)	$\text{AlCl}_3/\text{HCl}$ (nm)	NaOAc (nm)	NaOAc/ $\text{H}_3\text{BO}_3$ (nm)
Swertia sin	332	384	380 (omuz)	378 (omuz)	384	335
	273	306 (omuz)	345	343	295 (omuz)	272
$C_3$		270	300 (omuz)	300 (omuz)	270	
				279	278	
				265 (omuz)	263 (omuz)	

Tablo 13:  $C_3$  bileşiginin  $^1H$  NMR  
spektrum değerleri

Bileşik $C_3$	Sinyal (ppm)	δ(ppm)	
		İsim	Değer
	H-3		6.34 s
	$C_7-OCH_3$		3.90 s
Swertisin	H-8		6.50 s
	H-3', H-5'		6.85 d
	H-2', H-6'		7.74 d
	$C_6-R$ , H-1'		4.78 d
	$C_6-R$ , H(2"-6")		3.37-4.24 m

Tablo 14:  $C_4$  bileşiginin metanolde ve diğer kayma  
belirteçleriyle alınan UV spektrum değerleri

	MeOH (nm)	NaOMe (nm)	$AlCl_3$ (nm)	$AlCl_3 / HCl$ (nm)	NaOAc (nm)	$NaOAc / H_3BO_3$ (nm)
Luteolin	349	402	425	385	362	370
$C_4$	290 (omuz)	329 (omuz)	300 (omuz)	358	325 (omuz)	300 (omuz)
	267	268	328	295 (omuz)	269	260
	253			275		
			241 (omuz)		266 (omuz)	

Tablo 15: C<sub>4</sub>-bileşiginin <sup>1</sup>H NMR  
spektrum değerleri

Luteolin C <sub>4</sub>	Absorbans Wavelength nm		T.C.H. T.C.D.	Spectra Spectrum	δ (ppm)
	490	480			
				H-3	6.30 s
				H-6	6.12 d
				H-8	6.49 d
				H-2', H-6'	7.28 d
				H-5'	6.85 d

Tablo 16: *Verbascum Cheiranthifolium* bitkisinden elde edilen flavonoid bilesiklerin RF değerleri ve renk reaksiyonları

Bilesik	Gözücü Sistemleri					Absorbsiyon				
	% 15 AcOH	% 30 AcOH	% 45 AcOH	% 60 AcOH	TBA	BAW	UV Işık	NH <sub>3</sub> / UV buharlı	NA / UV, belirteci	Benzidin / UV bel.
C <sub>1</sub>	0.14	0.42	0.64		0.45		k. mor*	sarı	sarı	kırmızı
C <sub>2</sub>		0.32	0.49	0.59			k. mor	sarı	sarı	
C <sub>3</sub>	0.19	0.64					k. mor	sarı	sarı	
C <sub>4</sub>		0.26			0.43	0.80	k. mor	p. sari*	turuncu	

TBA (t-butanol:asetik asit: su)  
BAW (n-butanol:asetik asit: su)

(3:1:1)  
(4:1:5)

\* k. mor (koyu mor)

p. sari (parlak sarı)

Tablo 17: Şekerlerin kağıt kromatografisindeki Rf değerleri

Gözücü Sistem	Glukoz	Galaktoz	Mannoz	Fruktoz	Ksiloz	Ramnoz
nBuOH : AcOH : H <sub>2</sub> O (4 : 1 : 5) (üst faz)	0,20	0,18	0,26	0,28	0,31	0,49
C <sub>6</sub> H <sub>5</sub> N : EtOAc : AcOH : H <sub>2</sub> O 36 : 36 : 7 : 21	0,22	0,19	0,25	0,28	0,35	0,51

## SONUÇ VE TARTIŞMA

*Verbascum cheiranthifolium* bitkisinin steroid ve flavonoidleri bakımından incelenmesi amacıyla yapılan bu çalışmada bir steroid ile dört flavonoid bileşik elde edilmiştir.

Bitkiden elde edilen V bileşiginin yapısı, spektral bulgulara dayanılarak ve erime noktası ile Rf değerleri standart örnekle kıyaslanarak  $\beta$ -sitosterol olarak tespit edilmiştir. Ayrıca V bileşigi asetille-nerek hidroksil grubunun yeri saptanmıştır.

*Ver. cheiranthifolium* bitkisinden elde edilen  $\beta$ -sitosterol bileşigine *Verbascumlarda* çok sık rastlanır.

Flavonoid bileşiklerin tüketme teknigine göre bitkinin toprak üstü kısmından hazırlanan alkol ekstre-sinden dört flavinoid bileşik elde edilmiştir.

$C_2$  ve  $C_4$  bileşiklerinin aglikon yapısında,  $C_1$  ve  $C_3$  bileşiklerinin ise glikozit yapısında olduğu asit hidrolizi ile saptanmıştır.

Ver. cheiranthifolium bitkisinden elde edilen  $C_1$  bileşigine uygulanan asit hidrolizinden sonra bileşigin şeker taşıdığı anlaşılmıştır. Bileşigin ince tabaka kromatografisi, UV spektrumu ve NMR spektrumunun karşılaştırılması ile yapısının viteksin olduğunu saptanmıştır.

$C_2$  bileşığının Verbascumlarda çok rastlanan luteolin olabileceği düşünülmüş, yapısı standart örnekle UV spektral bulguları, NMR spektrumu ve ince tabaka kromatograflerinin karşılaştırılması ile anlaşılmıştır.

$C_3$  bileşigidindeki 6 konumunun kapali olması,  $AlCl_3/HCl$  spektrumunun Bant I'inin, MeOH spektrumunun Bant I'ine göre 46 nm'lik bir kayma göstermesinden anlaşılmıştır.  $C_3$  bileşığının bir glikozit yapısında olduğu asit hidroliz ile anlaşılmıştır. Aynı zamanda NMR spektrumundaki 3.90 ppm deki singlet  $C_7$ 'den bağlı metoksi grubunun üç protonunu göstererek bu

doğrulanmaktadır. Spektral bulguları yanısıra standart örnekle ince tabaka kromatografilerinin karşılaştırılması ile bu bileşik swertisin olarak saptanmıştır.

$C_4$  bileşiginin ise yine Verbascumlarda çok rastlanan luteolin olabileceği düşünülmüştür.  $NaOAc/H_3BO_3$  spektrumunda Bant I'in uzun dalga boyuna kayması bileşikte o-dihidroksi durumunun varlığını kesinlikle belirtmiştir. Standart örnekle diğer UV spektral bulguları, NMR spektrumu ve ince tabaka kromatografilerinin karşılaştırılması ile  $C_4$  bileşiginin luteolin olduğu saptanmıştır.



8. Skwarek, T., Acta Pol. Pharae, 26 (6), 715-720 (1981).  
Lublin, Poland, Ref. C.A. 82, 32010 (1982).
9. Skwarek, T., Acta Pol. Pharae, 26 (6), 715-720 (1981).  
Lublin, Poland, Ref. C.A. 82, 32010 (1982).

#### KAYNAKLAR

10. Ninova, P., Kostikov, I., Sosanova, B., Naukova Farmaciya (Selia), 30 (3), 23-4 (Bulg) (1980). Ref.
1. Baytop, A., Farmasötik Botanik, Baha Matbaası, (1972).
2. Baytop, T., Türkiye'nin Tibbi ve Zehirli Bitkileri, ismail Akgün Matbaası, İstanbul (1963).
3. Gladzhikh, A.S., Gubanov, I.A., and Meshcheryakov, A.A., Ser. Biol. Nauk 1, 22-35 (Russ), (1965). Ref. C.A. (63), 923 d (1965).
4. Davis, P.H., Flora of Turkey and the East Aegean Islands, Edinburg University Press, Edinburg (1982).
5. Ninova, P., Paskov, D., (Bulg) (1969), Ref. C.A. 72, 28850 n (1970).
6. Baytop, T.: Türkiye'de Bitkiler ile Tedavi.
7. S.G., Karimova (USSR), Dikorastushckie Introd. Polezn. Rast. Bashk. 4, 89-105 (Russ) (1974). Ref. C.A. 84, 161762 z (1976).

8. Skwarek, T. (Inst. Clin Pathol., Sch. Med., 20-123 Lublin, Pol.). Ref. C.A. 93, 37018 h (1980).
9. Skwarek, T., Acta Pol. Pharm., 36 (6), 715-20 (Pol) (1979). Ref. C.A. 93, 37019; (1980).
10. Ninova, P.; Kurshkov, I.; Stefanova, B.; Nuryan, L., Farmatsiya (Sofia), 30 (5), 23-8 (Bulg) (1980). Ref. C.A. 94, 153459 x (1981).
11. Oskay, E., Organik Kimya, Sevinc Matbaasi (1975).
12. Cram, J.D., Hammond, S.G., Organic Chemistry McGraw-Hill Book Company, New York (1964).
13. Boiteau, P., Pasich, B., Ratsimamanga, A.R., Les Triterpenoids, Gauthier-Villars, Paris (1964).
14. Ulubelen, A., Öksüz, S., Samek, Z. and Holub, M., Tetrahedron Letters 46, 4455 (1971).
15. Hesse, M., Meier, H., Zech, B., Spektroskopische Methoden in der Organischen Chemie, Germany (1979).
16. Budzikiewicz, H., Wilson, J.M. and Djerassi, C., J. Amer. Chem. Soc. 85, 3688 (1963).
17. Harbone, J.B., Mabry, T.J. and Mabry, H., The Flavonoids Chapman and Hall Ltd. London (1975).
18. Thomas, M.B. and Mabry, T.J., Tetrahedron 24, 3675 (1968).

19. Mabry, T.J., Markham, K.R. and Thomas, M.B.,  
The Systematic Identifications of Flavonoids,  
Spring-Verlag, Berlin (1970).
20. Geissman, T.A., The Chemistry of Flavonoid Compounds, The Macmillan Company, New York (1962).
21. Harborne, J.B. and Mabry, T.J., The Flavonoids Advances in Research, Chapman and Hall Ltd., London (1982).
22. Bacon, J.D., Mabry, T.J. and Mears, J.A., Rev. Latinoamer. Quim. 7, 83 (1976). Ref. C.A. 86, 15873 m (1977).
23. Sakibara, M. and Mabry, T.J., *ibid* 8, 99 (1977). Ref. C.A. 88, 117746 f (1978).
24. Mears, J.A. and Mabry, T.J., Phytochemistry 11, 411 (1972).
25. Rodriguez, E., Carmen, N.J. and Mabry, T.J., *ibid* 11, 409 (1972).
26. Markham, K.R. and Ternai, B., Tetrahedron 32, 2607 (1976).
27. Ternai, B., Markham, K.R., *ibid*, 32, 565 (1976).
28. Ward, A.R.S., Gray, I.I., J. Chem. Soc. Perkin Transaction 1, 2475 (1976).
29. Wagner, H., Seligman, O., Tetrahedron 29, 3029 (1973).  
(1968)

30. Goudard, M., Fawre-Borwin, T., Lebreton, P.,  
Chopin, J., Phytochemistry 17, 145 (1978).
31. Wagner, H., Iyengar, M.A., Seligmann, O., J. Nat.  
Prod. 36, 166 (1973).
32. Ulubelen, A., Çetin, E.T., Gueran, A., Planta Med.  
27 (1), 14-17 (Eng) (1975). Ref. C.A. 82,  
152176 t (1975).
33. De Pascual Teresa, T.; Diaz, F.; Grande, M., An  
Quim. 74 (2), 311-14 (Span) (1978). Ref. C.A. 89,  
163786 n (1978).
34. De Pascual Teresa, J.; Diaz, F.; Grande, M., An  
Quim. 74 (12), 1566-7 (Span) (1978). Ref. C.A. 91,  
35696 n (1979).
35. Tschesche, Rudolf, Sepulveda, Silvia; Braun, Thomas,  
M., Chem. Ber., 113 (5), 1754-60 (Ger) (1980). Ref.  
C.A. 93, 41532 p (1980).
36. Anil, H., Doga, Seri A, 4 (1), 1-5 (Turk) (1980),  
Ref. C.A. 93, 235098 x (1980).
37. Sepulveda, S.; Tschescke, R., Contrib. Cient. Tecnol.,  
10 (1), 5-14 (Span) (1980). Ref. C.A. 94, 99778 k  
(1981).
38. Osvath, Klara; Papay, V.; Toth, L., Herba Hung. 21  
(2-3), 141-7 (Hung) (1982). Ref. C.A. 99, 85139 u  
(1983)

39. De Pascual Teresa, J.; Hernandez, J. Maria; Diaz, F.; Grande, M., An. Quim., Ser. C, 78 (1), 108-11 (Span) (1982). Ref. C.A. 97, 36095 b (1982).
40. Hein, S., Planta Med. 7, 185-205 (1959). Ref. C.A. 54, 2502 h (1960).
41. Tschesche, R.; Delhvi, S.; Sepulveda, S., Phytochemistry 18 (7), 1248 - 9 (Eng) (1979). Ref. C.A. 92, 59163 h (1980).
42. Papay, V.; Toth, L., Pharmazie 35 (5-6), 334-5 (Ger) (1980). Ref. C.A. 93, 164353 p (1980).
43. Serdyuk, L.I.; Dzhumyrko, S.F.; Kompantsev, V.A., Khim. Prir. Soedin. 4, 545-6 (Russ) (1976). Ref. C.A. 85, 189196 n (1976).
44. Bianco, A.; Guizo, M.; Iavarone, C.; Passacantilli, P.; Trogolo, C., Planta Med. 41 (1), 75-9 (Eng) (1981). Ref. C.A. 95, 25509 x (1981).
45. Bianco, A.; Guizo, M.; Iavarone, C.; Passacantilli, P.; Trogolo, C., Phytochemistry 20 (3), 465-8 (Eng) (1981). Ref. C.A. 95, 115919 k (1981).
46. Falsone, G.; Laryea, M.D.; Crea, A.E.G.; Finner, E., Planta Med. 44 (3), 150-3 (Ger) (1982). Ref. C.A. 97, 3573 c (1982).

- 47. Agababyan, E. Yu.; Arutyunyan, L.S.; Mnatsakanyan, V.A.; Gacs-Baits, Eszter; Radics, Lajos, Khim. Prir. Soedin 4, 446-51 (Russ) (1982). Ref. C.A. 98, 50343 h (1983).
- 48. Mnatsakanyan, V.A.; Arutyunyan, L.S.; Eribekyan, M.I., Khim. Prir. Soedin. 1, 38-41 (Russ) (1983). Ref. C.A. 99, 3017r (1983).
- 49. Groeger, D., Simchen, P., Pharmazie 22 (6), 315-21, (Ger) (1967). Ref. C.A. 67, 105967 g (1967).
- 50. De Pascual Teresa, T.; Diaz, F.; Grande, M., An. Quim., Ser. C 76 (2), 107-10 (Span) (1980). Ref. C.A. 94, 61693 r (1981).
- 51. Ninova, P., Nauchni Tr. Visskiya Med. Inst. Sofiya 44 (3), 33-7 (Eng) (1965). Ref. C.A. 65, 5874 h (1966).
- 52. Ninova, P.; Abdusamatov, A.; Yunusov, S.Yu., Khim. Prir. Soedin. 7 (4), 540 (Russ) (1971). Ref. C.A. 76, 1812 x (1972).
- 53. Ziyaev, R.; Abdusamatov, A.; Yunusov, S.Yu., Khim. Prir. Soedin. 7 (6), 853-4 (Russ) (1971). Ref. C.A. 76, 1241545 (1972).
- 54. Okuda, T. et alii., Phytochemistry 14, 1509. (1975).

REF. LISTED

55. Harborne, J.B., *Ibid* 4, 107 (1965).  
56. Shoolery, J.N. and Rogers Max T., *J. Am. Chem. Soc.* 80, 5121 (1958).  
57. Wyllie, S.G., *J. Org. Chem.* 42, 725 (1977).

Sekili 1. Fluorescent Ireninlerin UV Spetrumu	10
Sekili 2. Fluorescensin $\lambda_{max}$ Spektrometri	11
Sekili 3. Dördüncü Türeinin UV Spetrumu	12
Sekili 4. V Bileşigi UV Spetrumu	13
Sekili 5. V Bileşigi $\lambda_{max}$ Spektrometri	14
Sekili 6. V Bileşigi Kuru Spektrometri	15
Sekili 7. D. Bileşikin $\lambda_{max}$ Spektrometri	16
Sekili 8. V Bileşikin UV Spetrumu	17
Sekili 9. C. Bileşigi $\lambda_{max}$ Spektrometri	18
Sekili 10. C. Bileşigi UV Spetrumu	19
Sekili 11. C. Bileşigi UV Spetrumu	20
Sekili 12. C. Bileşigi $\lambda_{max}$ Spektrometri	21
Sekili 13. C. Bileşigi UV Spetrumu	22
Sekili 14. C. Bileşigi $\lambda_{max}$ Spektrometri	23
Sekili 15. C. Bileşigi UV Spetrumu	24
Sekili 16. C. Bileşigi $\lambda_{max}$ Spektrometri	25

## SEKİL LISTESİ

	<u>Sayfa</u>
Şekil 1. Flavonoidlerin Oluşumu .....	16
Şekil 2. Flavonoid İskeletleri .....	20
Şekil 3. Flavonoidlerin Kütle Spektroskopisinde Bölünme Yolları .....	39
Şekil 4. V Bileşiği IR Spektrumu .....	60
Şekil 5. V Bileşiği $^1\text{H}$ NMR Spektrumu .....	62
Şekil 6. V Bileşiği Kütle Spektrumu .....	63
Şekil 7. V Asetil Türevi IR Spektrumu .....	64
Şekil 8. V Asetil Türevi $^1\text{H}$ NMR Spektrumu .....	65
Şekil 9. C <sub>1</sub> Bileşiği UV Spektrumu .....	68
Şekil 10. C <sub>1</sub> Bileşiği $^1\text{H}$ NMR Spektrumu .....	69
Şekil 11. C <sub>2</sub> Bileşiği UV Spektrumu .....	72
Şekil 12. C <sub>2</sub> Bileşiği $^1\text{H}$ NMR Spektrumu .....	73
Şekil 13. C <sub>3</sub> Bileşiği UV Spektrumu .....	77
Şekil 14. C <sub>3</sub> Bileşiği $^1\text{H}$ NMR Spektrumu .....	78
Şekil 15. C <sub>4</sub> Bileşiği UV Spektrumu .....	80
Şekil 16. C <sub>4</sub> Bileşiği $^1\text{H}$ NMR Spektrumu .....	81

## TABLO LİSTESİ

Tablo	Sayfa
1. Flavonoid Bileşiklerin Renk Reaksiyonları .....	23
2. Flavonoid Bileşiklerin Renk Reaksiyonları .....	24
3. V Bileşığının IR Spektrum Değerleri ...	83
4. V Bileşığının $^1\text{H}$ NMR Spektrum Değerleri.	83
5. V Bileşığının Mass Spektrum Değerleri...	84
6. V Bileşığının Asetil Türevinin IR Spektrum Değerleri .....	84
7. V Bileşığının Asetil Türevinin $^1\text{H}$ NMR Spektrum Değerleri .....	85
8. C <sub>1</sub> Bileşığının Metanolde ve Diğer Kayma Belirteçleri ile Alınan UV Spektrum Değerleri .....	86
9. C <sub>1</sub> Bileşığının $^1\text{H}$ NMR Spektrum Değerleri .....	87
10. C <sub>2</sub> Bileşığının Metanolde ve Diğer Kayma Belirteçleri ile Alınan UV Spektrum Değerleri .....	88
11. C <sub>2</sub> Bileşığının $^1\text{H}$ NMR Spektrum Değerleri .....	89

Tablo 12. C <sub>3</sub> Bileşiginin Metanolde ve Diğer Kayma Belirteçleri ile Alınan UV Spektrum Değerleri .....	90
Tablo 13. C <sub>3</sub> Bileşiginin <sup>1</sup> H NMR Spektrum Değerleri .....	91
Tablo 14. C <sub>4</sub> Bileşiginin Metanolde ve Diğer Kayma Belirteçleri ile Alınan UV Spektrum Değerleri .....	92
Tablo 15. C <sub>4</sub> Bileşiginin <sup>1</sup> H NMR Spektrum Değerleri .....	93
Tablo 16. V. Cheiranthifolium Bitkisinden El- de Edilen Flavonoid Bileşiklerin Rf Değerleri ve Renk Reaksiyonları..	94
— Tablo 17. Şekerlerin Kağıt Kromatografisinde- ki Rf Değerleri .....	95

1987-1988 dönemine dekume Y.Ü. Fen Fakültesi İkinci  
Yıllık öğrencileri tarafından yapılan bu çalışma öncesi  
birçok çalışma yapılmıştır.

## ÖZGECMİŞ

1954 yılında İstanbul'da doğdum. İlk ve orta öğrenimi-  
mi İstanbul'da tamamladım.

1973-1974 öğretim döneminde İ.Ü. Kimya Fakültesi Kimya  
Yüksekokulu Bölümüne girdim ve 1978'de mezun oldum.

1980 yılı Haziran ayında İ.D.M.M.A. Galatasaray Mühendis-  
lik Fakültesinde asistan olarak göreve başladım. Halen Y.Ü. Fen-  
Ed. Fak. Kimya Bölümü Analitik Kimya Anabilim Dalında araştırma  
görevlisi olarak çalışmaktadır.

1982-1983 öğretim döneminde Y.Ü. Fen Bilimleri Enstitüsü,  
Kimya Bölümünde doktora programına başladım ve 1985-1986 öğretim  
döneminde çalışmalarımı tamamladım.



\*0010311\*